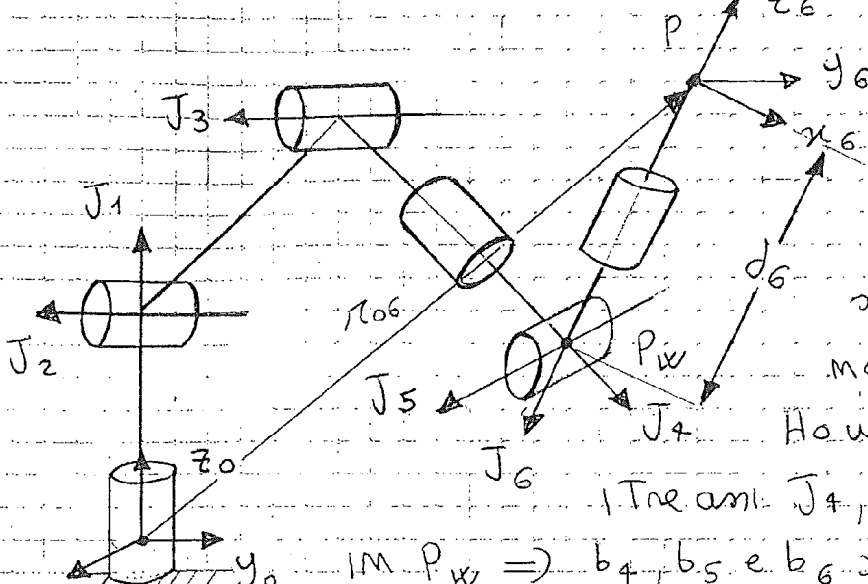


ROBOT ANTROPOMORFO (6 gradi di libertà)

OSS:  ${}^0P = {}^0\pi_{06}$

OSS: JE KUKA è



un robot antropomorfo  
molto madiggen  
ce leggermente  
ingatto J1 e J2 non  
si intersecano e J4  
non interseca J3.

Ha un polso genico perché

1. Tre assi J4, J5 e J6 si intersecano

in Pw  $\Rightarrow b4, b5$  e  $b6$  sono nulle, o meglio

$a4, a5$  ed  $a6$  sono nulle. Il braccio  $b6$  ha

una lunghezza  $\neq 0$  perché si realizza mediante una traslazione

come  $d6$  del riferimento.  ${}^6S$  lungo l'asse  $z7$

(parallelo a  $J6$ ). In fatti se facessimo un ragionamento al

limite per  $J6$  che tende ad intersecare

$J5$ , avremmo  $a5 \rightarrow 0$ . Allo stesso modo

formalmente  $a6 \rightarrow 0$ , ma il braccio  $b6$

non è cmq nullo perché  $d6$  gioca il ruolo

di lunghezza del braccio. Analogamente

a quanto fatto precedentemente,

dato il punto P e l'orientamento di  ${}^6S$  (e specifiche sono

posizione + orientamento del braccio terminale), posso risalire

alla posizione del polso  $Pw$ :  ${}^0Pw = {}^0P - d6 {}^0z6$

In coordinate omogenee:

${}^0\tilde{z}_6 = {}^0T_6 {}^6\tilde{z}_6$ , con  ${}^6\tilde{z}_6 = \begin{bmatrix} 0 \\ 0 \\ 1 \\ 0 \end{bmatrix}$

$\rightarrow$  Vettore non applicato  
prelevato è orientamento

dell'ultima componente soltanto.

Il problema si riduce in questo modo e diventa solo il pro

$z6$

Problema di determinare la posizione del centro del polso  $P_W$

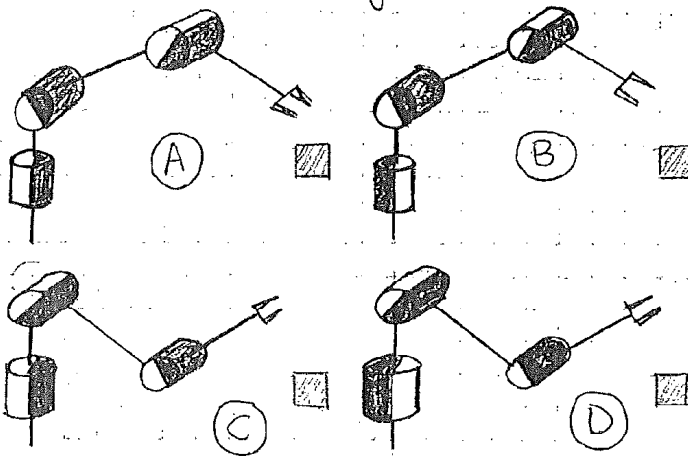
$$\begin{bmatrix} {}^0P_{03} \\ 1 \end{bmatrix} = \begin{bmatrix} {}^0P_W \\ 1 \end{bmatrix} = {}^0T_1(q_1) {}^1T_2(q_2) {}^2T_3(q_3) {}^3\tilde{\pi}_{33}$$

con  ${}^3\tilde{\pi}_{33} = \begin{bmatrix} 0 \\ 0 \\ 0 \\ 1 \end{bmatrix}$  Vettore applicato che indica la posizione del punto  $P_W$  nel riferimento  ${}^3S$  in coordinate  ${}^3S \Rightarrow$

$$\Rightarrow \begin{bmatrix} {}^0P_{03} \\ 1 \end{bmatrix} = {}^0T_3(q_1, q_2, q_3) \begin{bmatrix} 0 \\ 0 \\ 0 \\ 1 \end{bmatrix} \Rightarrow P_W = {}^0P_{03}(q_1, q_2, q_3)$$

Nel pb di cinematica inversa  ${}^0P_W$  è noto perché calcolato a partire da  $P$  (una volta che si conosce l'orientamento della mano)

$\Rightarrow$  bisogna calcolare  $q_1, q_2$  e  $q_3 \Rightarrow$  si deve risolvere un sistema di 3 eq. in 3 incognite.  $\exists$  4 modi diversi per posizionare il

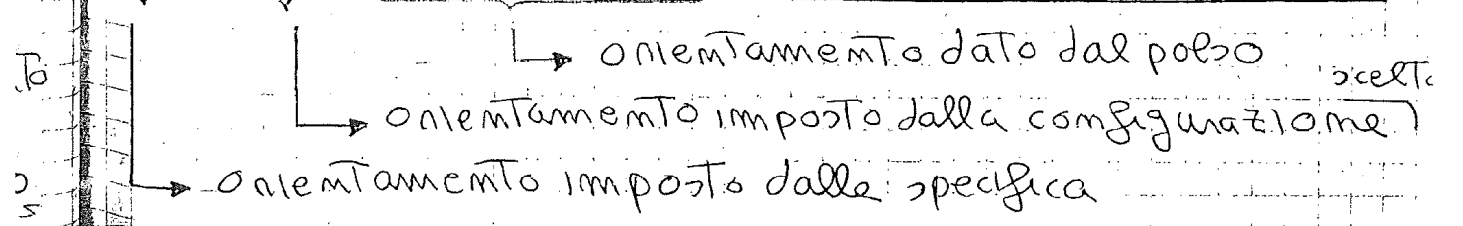


manipolatore nel punto  $P_W$  le quattro configurazioni compatibili con la posizione assegnata del centro polso sono disegnate a SX. Le (A) e (C) sono le soluzioni gomito su e gomito

giù quando il robot è di fronte all'oggetto mentre (B) e (D) sono le soluzioni gomito su e gomito giù quando il robot è di fianco all'oggetto.  $\forall$  di queste soluzioni a vremo una certa

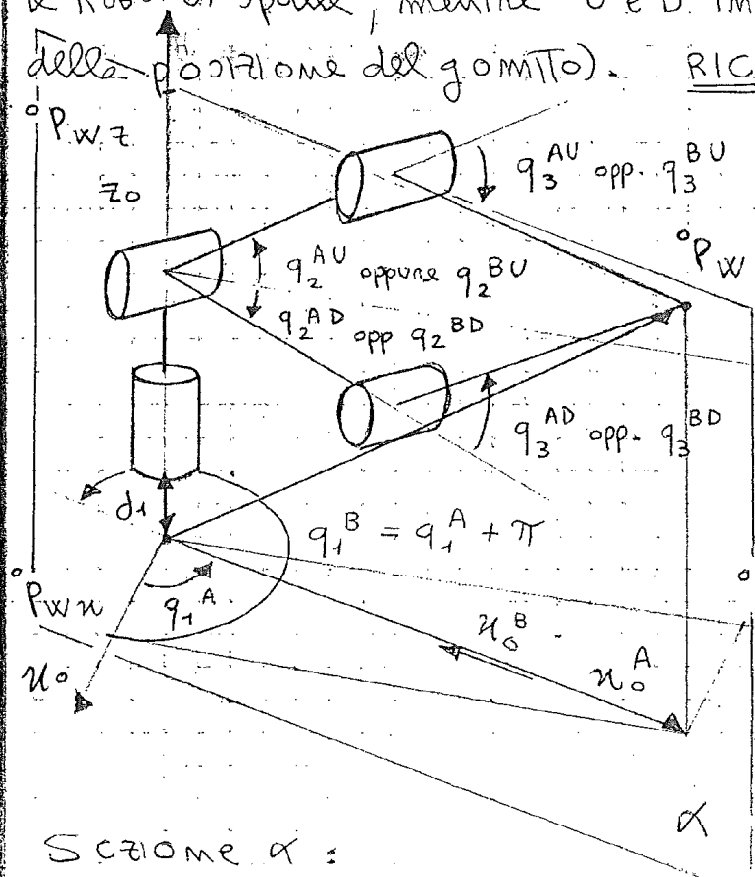
orientamento del riferimento sul braccio finale  ${}^0R_6 \Rightarrow$

$${}^0R_6 = {}^0R_3 {}^3R_6(q_4, q_5, q_6) \Rightarrow {}^3R_6(q_4, q_5, q_6) = {}^0R_3^T {}^0R_6$$



Visto che ho quattro configurazioni diverse per posizionare il polso, ciascuna con un diverso orientamento dello stesso  $\Rightarrow$  cinematico 4 terne di soluzioni  $q_3, q_4, q_5$  associate alle varie configurazioni. Questi sono algoritmi esatti con soluzioni in forma chiusa.

OSS: D'ora in poi chiameremo le soluzioni (A) e (C) rispettivamente  $q^{AU}$  e  $q^{AD}$ , mentre le (B) e (D) rispettivamente  $q^{BU}$  e  $q^{BD}$  (essendo A le soluzioni con robot di fronte e B quelle con il robot di spalle, mentre U e D indicano Up e Down a seconda della posizione del gomito).



RIC: Data una posizione del polso specifica da realizzare, gli angoli del giunto 1 che la realizziamo sono due a seconda che il robot si trovi di fronte o di spalle all'oggetto da afferrare:

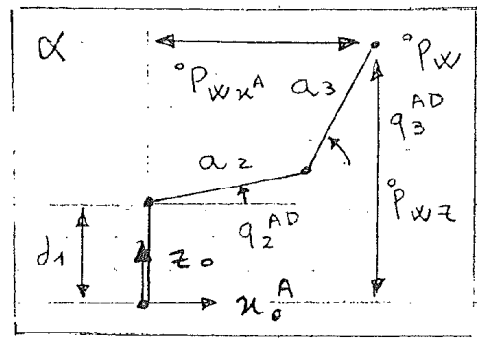
$$q_1^A = \text{atan2}(\cdot P_{wy}, \cdot P_{wx})$$

$$q_1^B = \text{atan2}(\cdot P_{wy}, \cdot P_{wx})$$

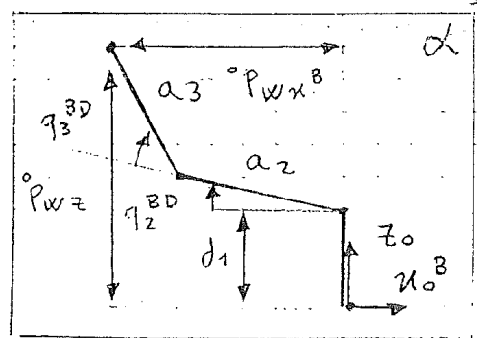
con  $q_1^B = q_1^A + \pi$   
 e con  $q_1^A, q_1^B \in [0, 2\pi)$ .

Se ora consideriamo la posizione gomito qui con robot di fronte, la sezione

Sezione  $\alpha$ :



$\alpha$  si presenta come mostrato a SX mentre se il robot è di spalle, sempre con il gomito qui, allora la



sezione  $\alpha$  è quella indicata a DX. Possiamo quindi scrivere l'eq:

$$\beta \sqrt{{}^0P_{wx}^2 + {}^0P_{wy}^2} = a_2 \cos q_2 + a_3 \cos(q_2 + q_3)$$

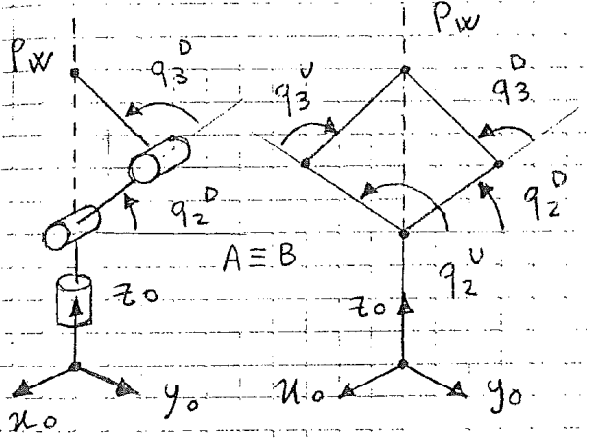
$${}^0P_{wz} - d_1 = a_2 \sin q_2 + a_3 \sin(q_2 + q_3)$$

Dove  $\beta$  è un coefficiente che vale  $\pm 1$  a seconda di  $q_1$ :

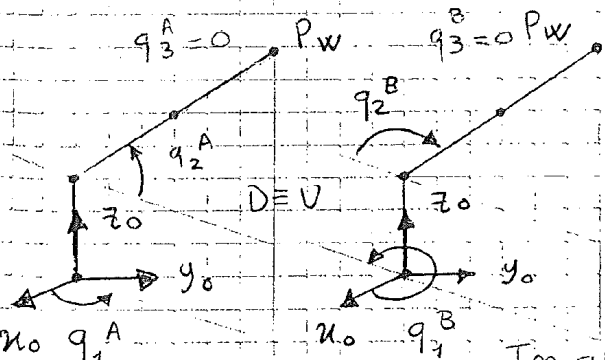
$$\begin{cases} q_1^A \Rightarrow \beta = 1 \Rightarrow q_2^{AV} \text{ e } q_3^{AV} \text{ oppure } q_2^{AD} \text{ e } q_3^{AD} \\ q_1^B \Rightarrow \beta = -1 \Rightarrow q_2^{BV} \text{ e } q_3^{BV} \text{ oppure } q_2^{BD} \text{ e } q_3^{BD} \end{cases}$$

Quindi A, B distinguono le soluzioni con piantone dritto da quelle con piantone rovescio mentre U, D distinguono quelle gomito su da quelle gomito giù.  $\exists$  delle soluzioni singolari che sono quelle in cui

$A=B$ , cioè il termine:  $\beta \sqrt{{}^0P_{wx}^2 + {}^0P_{wy}^2} = 0$  ed il punto  $P_w$  giace sull'asse  $z_0$  (cioè  ${}^0P_{wx}$  e  ${}^0P_{wy}$  nulle).



Una delle due configurazioni, gomito su e gomito giù, ha  $\infty$  soluzioni perché il piantone è libero di girare mentre  $P_w$  mantiene la sua posizione.  $\exists$  anche un'altra configurazione del robot che produce delle soluzioni singolari ed è quella a



braccio completamente esteso ( $q_3=0$ )

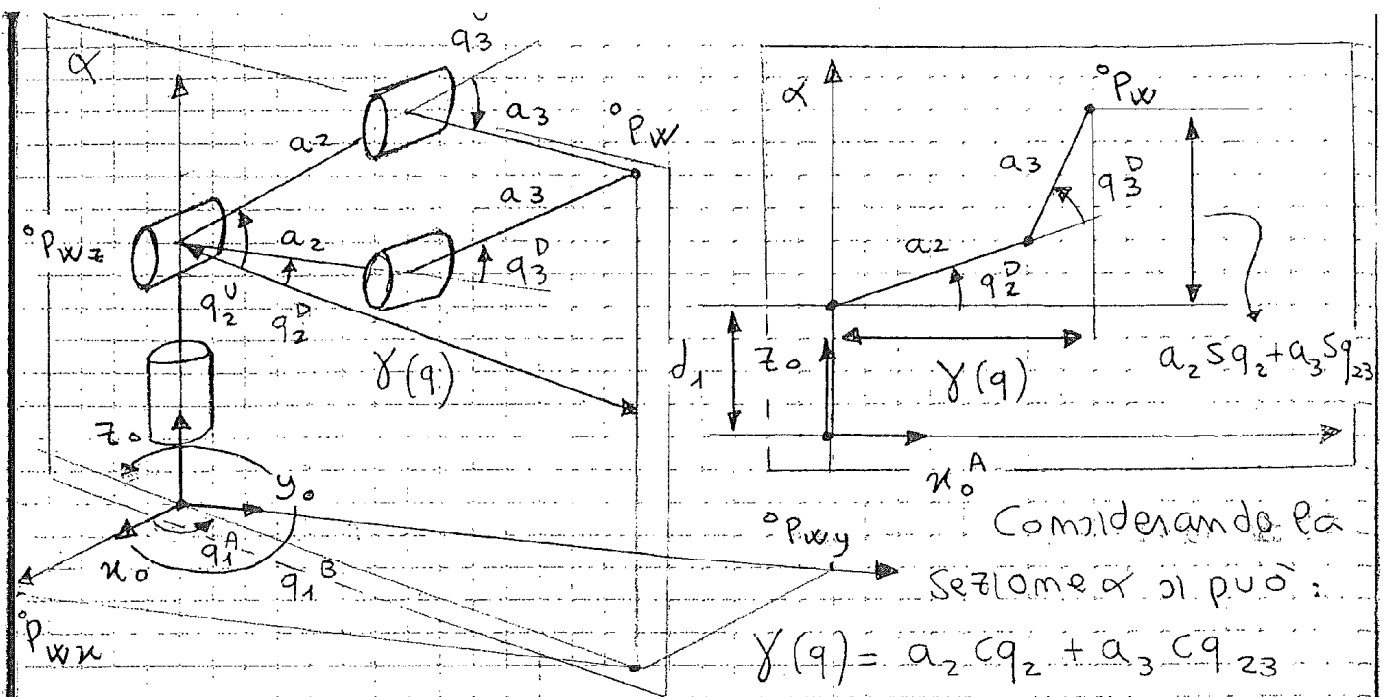
$$\begin{aligned} q_1^A &\rightarrow q_2^A, q_3^A = 0 \\ q_1^B &\rightarrow q_2^B, q_3^B = 0 \\ \text{con } \begin{cases} q_2^B = \pi - q_2^A \\ q_1^B = \pi + q_1^A \end{cases} \end{aligned}$$

In questa configurazione del robot, sono le soluzioni gomito su e gomito giù quelle che coincidono (D=U).

### MATRICE JACOBIANA PER ROBOT A 3 GRADI DI LIBERTÀ

(valida solo per le traslazioni):  $\dot{\pi}_{03} = K_p(q) \dot{q} \Rightarrow$  si può ottenere il vettore velocità cartesiano derivando  $K_p(q)$ .

$$\dot{\pi}_{03} = \frac{\partial K_p(q)}{\partial q} \dot{q} = J_p(q) \dot{q} \quad (\text{per semplificare la notazione: } \dot{\pi}_{03} = \dot{\pi})$$



Considerando la sezione  $\alpha$  si può:

$$Y(q) = a_2 c q_2 + a_3 c q_{23}$$

$$\begin{aligned} \pi_x &= (a_2 c q_2 + a_3 c q_{23}) \cos q_1 = \pi_{wx} \\ \pi_y &= (a_2 c q_2 + a_3 c q_{23}) \sin q_1 = \pi_{wy} \\ \pi_z &= d_1 + a_2 s q_2 + a_3 s q_{23} = \pi_{wz} \end{aligned}$$

Sommando i quadrati  $\Rightarrow$

OSS:  $Y(q) > 0 \Rightarrow q_1^A = \text{atan2}(\pi_y, \pi_x)$   
 $Y(q) < 0 \Rightarrow q_1^B = \text{atan2}(-\pi_y, -\pi_x) = q_1^A + \pi$

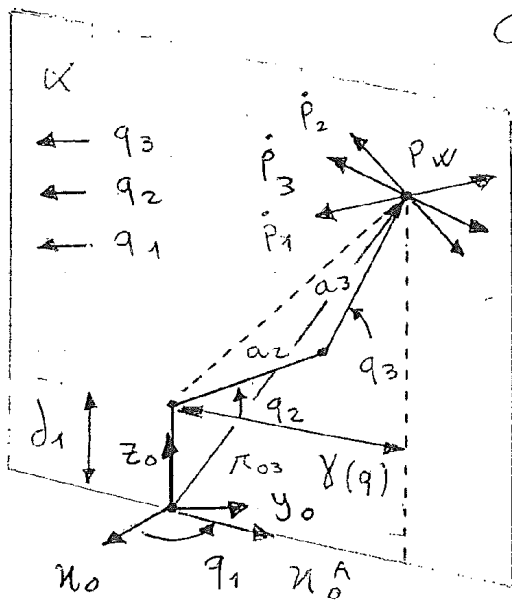
$$\Rightarrow \begin{cases} \beta \sqrt{\pi_x^2 + \pi_y^2} = Y(q) \text{ con } \beta = \pm 1 \\ \pi_z - d_1 = a_2 s q_2 + a_3 s q_{23} \end{cases}$$

Riattendiamo le formule dalla cinematica inversa che

abbiamo ricavato precedentemente. La matrice Jacobiana  $J_p(q)$  è la matrice relativa al contributo delle  $\dot{q}$  alla velocità lineare del centro polso  $P_w$ :

$$J_p(q) = \begin{bmatrix} \frac{\partial \pi_x}{\partial q_1} & \frac{\partial \pi_x}{\partial q_2} & \frac{\partial \pi_x}{\partial q_3} \\ \frac{\partial \pi_y}{\partial q_1} & \frac{\partial \pi_y}{\partial q_2} & \frac{\partial \pi_y}{\partial q_3} \\ \frac{\partial \pi_z}{\partial q_1} & \frac{\partial \pi_z}{\partial q_2} & \frac{\partial \pi_z}{\partial q_3} \end{bmatrix} = \begin{bmatrix} \frac{\partial \pi}{\partial q_1} & \frac{\partial \pi}{\partial q_2} & \frac{\partial \pi}{\partial q_3} \end{bmatrix}$$

Poniamo interpretare, ognuno di questi tre vettori colonna rappresenta il contributo di un determinato giunto ( $q_1$  oppure  $q_2$  oppure  $q_3$ ) alla velocità cartesiana di  $P_w$ , o meglio alla sua velocità lineare.



Come si può vedere dal disegno a SX, il giunto  $q_1$  contribuisce alla velocità lineare di  $P_w$  con una componente perpendicolare al piano  $\alpha$  individuata dai sensori  $z_0$  ed  $x_0^A$  (mostrata in verde); mentre i giunti  $q_2$  e  $q_3$  contribuiscono con una componente giacente sul piano  $\alpha$  (segmento in rosso ed in meno). Derivando il settore  $\pi_{03}$  espresso nelle coordinate di  $^0S$  (che abbiamo chiamato  ${}^0\pi_{03} = \pi$  per brevità di notazione) otteniamo:

$${}^0\dot{\pi} = \frac{\partial \pi}{\partial q_1} \dot{q}_1 + \frac{\partial \pi}{\partial q_2} \dot{q}_2 + \frac{\partial \pi}{\partial q_3} \dot{q}_3 = \begin{bmatrix} \frac{\partial \pi}{\partial q_1} & \frac{\partial \pi}{\partial q_2} & \frac{\partial \pi}{\partial q_3} \end{bmatrix} \begin{bmatrix} \dot{q}_1 \\ \dot{q}_2 \\ \dot{q}_3 \end{bmatrix} \Rightarrow$$

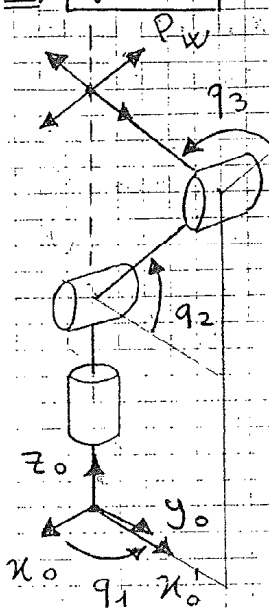
$\Rightarrow {}^0\dot{\pi} = J_p(q) \dot{q}$  Per il calcolo di  ${}^0\dot{\pi}$  si può procedere sia operando le derivate, sia ragionando internamente geometrici:

$${}^0\dot{\pi} = \begin{bmatrix} -\gamma(q) s q_1 & -c q_1 (a_2 s q_1 + a_3 s q_{23}) & -c q_1 (a_3 s q_{23}) \\ \gamma(q) c q_1 & -s q_1 (a_2 s q_2 + a_3 s q_{23}) & -s q_1 (a_3 s q_{23}) \\ 0 & a_2 c q_2 + a_3 c q_{23} & a_3 c q_{23} \end{bmatrix}$$

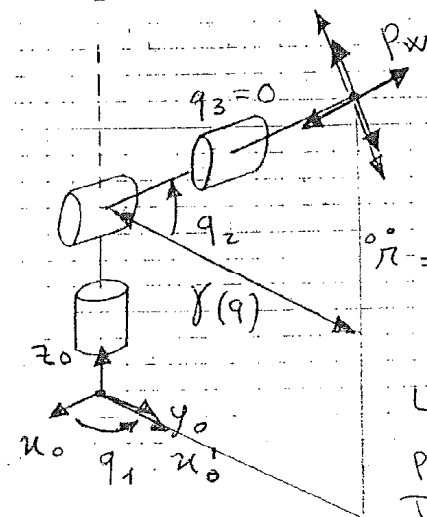
$\frac{\partial \pi}{\partial q_1}$                        $\frac{\partial \pi}{\partial q_2}$                        $\frac{\partial \pi}{\partial q_3}$

OSS: Il vettore  $x_0^A = \begin{bmatrix} c q_1 \\ s q_1 \\ 0 \end{bmatrix}$  è parallelo al piano  $\alpha$ . Visto che  $\frac{\partial \pi}{\partial q_1} = \gamma(q) \begin{bmatrix} -s q_1 \\ c q_1 \\ 0 \end{bmatrix}$  è perpendicolare al vettore  $x_0^A$  (perché ha prodotto scalare nullo  $\Rightarrow \frac{\partial \pi}{\partial q_1}$  è una componente  $\perp$  al piano  $\alpha$  come si evince dal disegno. Il modulo di tale componente dipende da  $\gamma(q)$  cioè da quanto il braccio è esteso  $\Rightarrow$  il contributo alla velocità cartesiana dipende da  $\gamma(q)$ . Se  $\gamma=0$  (siamo nella configurazione con  $P_w \in z_0$ ),  $q_1$  non dà contributo alla velocità cartesiana di  $P_w$ . I contributi di  $\frac{\partial \pi}{\partial q_2}$  e  $\frac{\partial \pi}{\partial q_3}$  sono  $\perp$  al contributo di  $\frac{\partial \pi}{\partial q_1}$  ed appartengono al piano  $\alpha$ . Tuttavia il contributo  $\frac{\partial \pi}{\partial q_2}$  è proporzionale ai bracci  $a_2$  ed  $a_3$  mentre  $\frac{\partial \pi}{\partial q_3}$  è proporzionale al solo braccio  $a_3$ . La matrice  ${}^0\dot{\pi}$  è in genere una matrice a rango pieno pari a 3. E tuttavia due particolari configurazioni del robot. Per analizzarne le cadute di rango:

1)  $|\dot{\gamma} = 0| \Rightarrow$  Quando il centro del polso  $P_W$  appartiene all'asse  $z_0$ , il contributo di  $q_1$  non produce una componente della velocità cartesiana (c'è contributo in  $\mathbb{R}^3$  sull'orientamento, ma non in  $\mathbb{R}^3$  per quanto riguarda la posizione). I movimenti di  $q_2$  e di  $q_3$  consentono spostamenti di  $P_W$  sul piano individuato dai vettori  $z_0$  ed  $x'_0 \Rightarrow$  ho una velocità non nulla sul piano  $\alpha \Rightarrow$  ho una caduta di rango perché in quella posizione di minimo sono i gradi di libertà del robot in quanto non sono più liberi di muoversi in  $\mathbb{R}^3$  ma sono equivalenti in  $\mathbb{R}^2$ . Si dice che il robot che si toglie il cappello non può lanciarlo.



2)  $\dot{\gamma}(q) = \cos q_2 (a_2 + a_3) \Rightarrow$  Un'altra singolarità di  $\dot{\gamma}$  si ha quando il braccio è completamente esteso. In tal caso  $\dot{\gamma}(q)$  è la proiezione di  $(a_2 + a_3)$  sul piano  $x_0 y_0 \Rightarrow$  dipende solo dal  $\cos q_2$ . La  $\dot{\gamma}$  diventa:



$$J = \begin{bmatrix} -c q_2 (a_2 + a_3) s q_1 & -s q_2 (a_2 + a_3) c q_1 & -s q_2 a_3 c q_1 \\ c q_2 (a_2 + a_3) c q_1 & -s q_2 (a_2 + a_3) s q_1 & -s q_2 a_3 s q_1 \\ 0 & c q_2 (a_2 + a_3) & a_3 c q_2 \end{bmatrix}$$

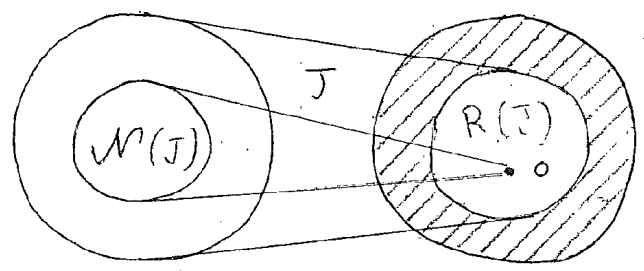
Le ultime due componenti della velocità sono parallele al vettore:  $\dot{\gamma} = \begin{bmatrix} -s q_2 c q_1 \\ -s q_2 s q_1 \\ c q_2 \end{bmatrix}$ . In gatti la seconda componente è pari ad  $(a_2 + a_3) \dot{\gamma}$  mentre la terza componente è pari ad  $a_3 \dot{\gamma}$ . Ciò mi consente di muovermi solo lungo una direzione  $\Rightarrow$  perdo un altro grado di libertà perché ho lo stesso span generato da una retta. Questo tipo di singolarità è diverso dal precedente, dal quale si scappa muovendo  $q_2$  oppure  $q_3$ . In questo caso infatti si esce dalla singolarità se si muove  $q_3$  mentre movimenti di  $q_1$  o  $q_2$  non fanno uscire dalla condizione di singolarità. Inoltre muovendo di poco  $q_3$  si esce matematicamente dalla singolarità ma praticamente il determinante dello Jacobiano è molto piccolo (quasi zero)  $\Rightarrow$  è impensabile avere una matrice i cui elementi hanno valori molto elevati. Riassumendo, in questo caso lo Jacobiano è: 82

$J_p(q) = \begin{bmatrix} * & \dot{v}(a_2 + a_3) & \dot{v} a_3 \end{bmatrix}$  visto che ho una caduta di rango  $\Rightarrow \det = 0 \Rightarrow$  ho un autovalore nullo. Se impongo al robot una velocità di giunto  $\dot{q}$  proporzionale a tale autovettore:

$\dot{q} = \begin{bmatrix} 0 \\ -a_3 \\ a_2 + a_3 \end{bmatrix} \Rightarrow$  La velocità cartesiana è nulla nell'istante in cui applico tale velocità ai giunti, ed un  $dt$  di tempo dopo sarà  $q_3 = -a_3 dt \Rightarrow$  si esce dalla singolarità.

**OSS:** Normalmente un robot non ridondante ha una Jacobiana che non possiede un nullo (il nullo si viene a creare solo nel caso in cui il robot assume una configurazione che dà luogo a singolarità). Un braccio esteso ad esempio dà luogo a singolarità della Jacobiana. La matrice Jacobiana  $J_p(q)$  è un'operazione di trasformazione che trasforma le velocità di giunto in velocità cartesiane o viceversa:  $J_p(q) : \mathbb{R}^m \rightarrow \mathbb{R}^m$

L'area ombreggiata, rapp. è l'insieme delle velocità cartesiane non realizzabili nella configurazione  $q$ .



L'area non è l'insieme delle velocità di giunto che producono velocità cartesiana nulla nella configurazione  $q$ , mentre l'area blu è l'insieme delle velocità di giunto che danno luogo a tutte le velocità cartesiane realizzabili con la configurazione  $q$ .

VELOCITÀ DI GIUNTO:  $\mathbb{R}^m$       VELOCITÀ CARTESIANE:  $\mathbb{R}^m$

Nella programmazione di un robot è bene non evitare il passaggio vicino a configurazioni che danno luogo a delle singolarità.

**OSS:** Mediante la matrice Jacobiana  $J_p(q)$  è possibile risolvere il Pb cinematico inverso differenziale = cioè data una configurazione  $q$  del robot, quale dev'essere le velocità di giunto  $\dot{q}$  affinché le velocità cartesiane siano quelle desiderate  $\dot{r}_d$ ?  $q \rightarrow \dot{r}(q) = \dot{r}(q)_{desiderata} = \dot{v}_d, \dot{q}?$  La soluzione:

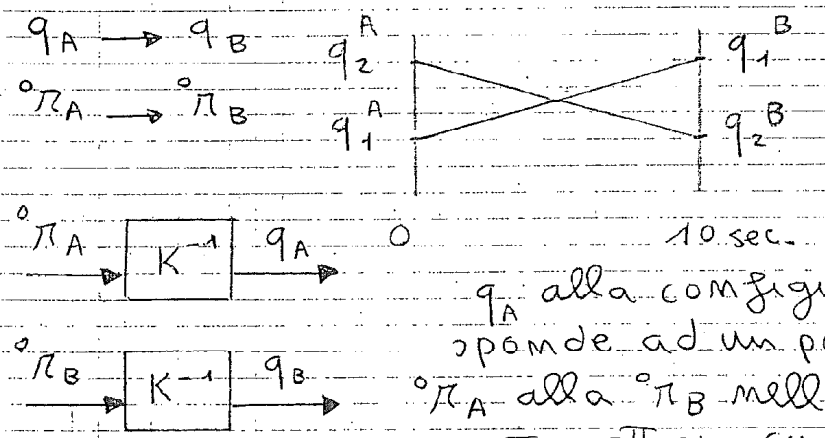
$\dot{q}_d = J_p^{-1}(q) \dot{r}_d \iff$  Il robot non è ridondante (cioè  $J_p(q)$  è quadrata) e siamo lontani da una configurazione che produce singolarità (infatti se così fosse  $J^{-1} \rightarrow \infty \Rightarrow$  per avere una piccola velocità



caratteriana, o conno mo dxxx setocalla di gumio motio exuale, co  
 Te pb di cinematica differenziale diretta si risolve banalmente

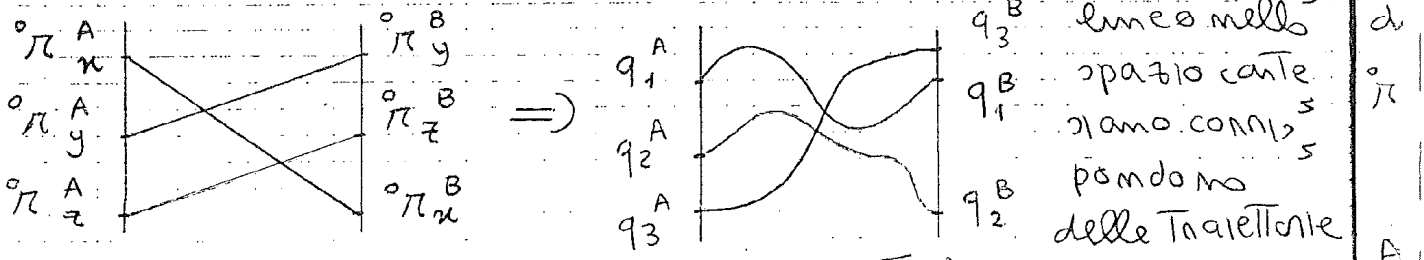
$\dot{\pi} = J_p(q) \dot{q}$  essendo  $\dot{q}$  nota e si vuole conoscere qual'è la velocità caratteriana  $\dot{\pi}$  corrispondente a tale velocità di giunto.

OSS: Se ad esempio la traiettoria caratteriana del punto  $P_i$ , passa sull'asse  $z_0$  oppure vicino a tale asse  $\Rightarrow$  anche se la velocità caratteriana si mantiene costante, si ha una brusca accelerazione delle velocità di giunto nei pressi del passaggio all'infinito  $z_0$ . Se specifico la traiettoria nello spazio dei giunti, posso fare in modo di non avere passaggi che producano delle singolarità mentre se specifico la traiettoria nello spazio caratteriano potrebbero verificarsi delle singolarità:



Si fa percorso  $\forall$  giunto  $q_i$  una traiettoria rettilinea nello spazio dei giunti per passare dalla configurazione  $q_A$  alla configurazione  $q_B$ . Ciò corrisponde ad un passaggio dalla posizione  $\pi_A$  alla  $\pi_B$  nello spazio caratteriano con una traiettoria curvilinea non meglio nota.

Oppure possiamo pianificare una traiettoria rettilinea nello spazio caratteriano in modo analogo a tale traiettoria rettilinea nello spazio dei giunti.



generiche nello spazio dei giunti. Un metodo per realizzazione queste traiettorie è spezzettare le rette stesse ed applicare l'algoritmo di cinematica inversa in ogni punto  $\Rightarrow$  invertire la matrice Jacobiana discretizzandola, cioè discretizzando la variazione continua di  $J(q)$ . Questa soluzione può dare pb di singolarità cinematica  $\Rightarrow$  questo è il motivo per il quale le traiettorie rettilinee nello spazio caratteriano si

), unegnamo solo Tra punti vicini fra loro. Un movimento più complesso è una composizione di Traiettorie rettilinee Tra punti vicini. Lo Jacobiano è utile anche per la soluzione del <sup>s</sup> pb cinematico inverso:

Il movimento da  ${}^0\pi_A$  ad  ${}^0\pi_B$  nel tempo  $\Delta$  avviene a velocità:  ${}^0v_J = \frac{{}^0\pi_B - {}^0\pi_A}{\Delta} \Rightarrow$  per avere tale velocità

$${}^0\pi_A = K_P(q_A) \quad \parallel \Rightarrow$$

cartesiana che produce lo spostamento da  ${}^0\pi_A$  ad  ${}^0\pi_B$  basta imporre una velocità di giunto:  $\dot{q} = J_P^{-1}(q) {}^0v_J$   
 Considerando una implementazione nel tempo discreto con tempo di campionamento fisso  $T_c$ :

${}^0\pi_A \Rightarrow q(t_0) = q_A = K_P^{-1}({}^0\pi_A) \Rightarrow$  Integrando da  $t_0$  a  $t_0 + T_c$

$$\Rightarrow q(t_0 + T_c) = q_A + J_P^{-1}(q_A) {}^0v_J T_c$$

↳ Se  $T_c$  è piccolo, la  $J(q_A)$  non cambia molto passando da  $t_0$  a  $t_0 + T_c \Rightarrow q(t + T_c) = q(t) + J_P^{-1}(q(t)) {}^0v_J T_c$ .  
 Questa Traietoria della variabile di giunto produrrebbe una Traietoria cartesiana rettilinea se è intervallo di campionamento  $T_c \rightarrow 0$ . Ma nella pratica  $T_c \neq 0$  per cui sono introdotti degli errori e la Traietoria reale si discosta da quella ideale.

Per ovviare a questo inconveniente si possono introdurre dei meccanismi di connessione, Tra i quali c'è il calcolo della Traietoria dopo un numero prefissato  $N$  di passi:

${}^0\pi_A$   $\rightarrow$   ${}^0\pi_B$   $\quad {}^0\pi_N = K_P(q(NT_c))$  con  ${}^0v = \frac{{}^0\pi_B - {}^0\pi_N}{\Delta - NT_c}$

dopo di che si itera e applicazione dell'algoritmo di base.

ALGORITMI NUMERICI PER IL CALCOLO DELLA CINEMATICA INVERSA  
 pb di cinematica inversa:  ${}^0p = K(q)$  con  ${}^0p \in \mathbb{R}^m$  e  $q \in \mathbb{R}^m$ , dove  $m = 6$  è il numero di gradi di libertà necessari per eseguire il compito (se è uterabile è una punta o un venticiatone, il compito è descritto da  $m = 5$  gradi di libertà, cioè un grado è inessenziale) mentre  $m$  è il numero degli assi del robot cioè esprime la sua mobilità. Il pb di cinematica inversa è, data una posizione desiderata  ${}^0p_j$

$p_j = K(q)$  in funzione di  $q \Rightarrow$  sistema di  $m$  equazioni  
 non lineari in  $m$  incognite. Prima di passare alla risoluzi-  
 one di questo problema di cinematica inversa, ricordiamoci

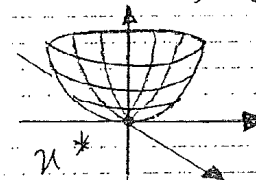
il pb = TEORIA DELL'OTTIMIZZAZIONE NON LINEARE

data una funzione  $V(x)$  scalare non lineare con  $x \in \mathbb{R}^m$ ,  
 cioè  $V: \mathbb{R}^m \rightarrow \mathbb{R}^+$ , si va alla ricerca di un minimo:

$\min_{x \in X} V(x)$  con  $X \subseteq \mathbb{R}^m$ ,  $X$ : insieme di definizione di  $V(x)$ .  
 questo è un classico problema di minimizzazione.  $\exists$

molte metodi per calcolare questo minimo. Il legame che intercon-  
 ne tra il problema di cinematica inversa e la teoria della  
 ottimizzazione non lineare, è duplice:

1) Se  $V(x)$  è una funzione smooth (cioè "liscia", derivabile  
 infinite volte)  $\Rightarrow$  è ottimo si trova imponendo che sia nullo il gra-



diente della  $V(x)$ : questo avviene imponendo la  
 derivata del punto di minimo  $x^* : \frac{\partial V}{\partial x} \Big|_{x^*} = 0$   
 Il valore di  $x^*$  si ricava

risolvendo un sistema di  $m$  equazioni in  $m$  incognite  
 (non lineari)  $\Rightarrow$  pb analogo a quello che bisogna solve-  
 re nel pb di cinematica inversa.

2) Si può pensare di risolvere il problema di minimo della se-  
 guente funzione:

$$V(q) = (p_j - K(q))^T (p_j - K(q)) = \|p_j - K(q)\|^2 \Rightarrow$$

in tal modo risolvere il pb di cinematica inversa ( $p_j = K(q)$ ), calcolando  
 il minimo della funzione  $V(q)$ .

Gli algoritmi per la risoluzione di questo problema sono i  
 tutti. In matematica esistono le funzioni:

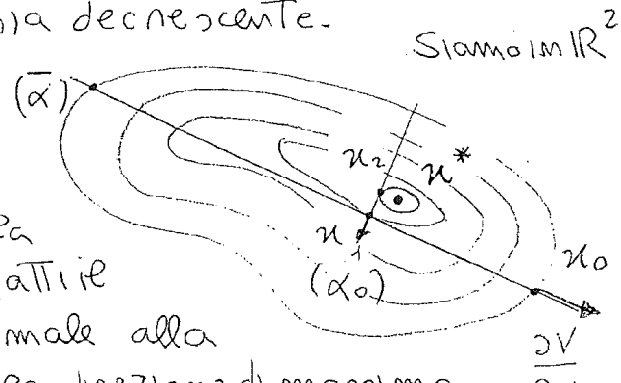
•  $f_{mimo}(\text{'calcV'}, x_0, \dots)$   $\parallel$  punto iniziale che serve per im-  
 mescare la sequenza che converge a  $x^* \rightarrow$  punto che  
 minimizza la funzione  
 con  $\text{calcV.m}$   $\rightarrow$  funzione  $V = \text{calc}(x)$

$f_{mimo}$  calcola il minimo non vincolato della funzione  $V$   
 (il cui valore in  $x$  viene calcolato dalla funzione  $\text{calcV}$   
 definita in un file a parte). Viene imposto solo che la  
 soluzione  $x^*$  appartenga all'insieme di definizione  $X \subseteq \mathbb{R}^m$   
 della  $V$ . Un algoritmo come  $f_{mimo}$ , di questo tipo, calcolano  
 la direzione nella quale  $V(x)$  diminuisce nel seguente modo:

si calcola  $V(x_0)$  e si va poi alla ricerca di un  $x_1$ , tale che  $V(x_1) < V(x_0) \Rightarrow$  se ho solo  $V(x)$  a disposizione, la ricerca può essere lunga perché si cerca a "caso" la direzione una direzione nella quale  $V(x)$  sia decrescente.

Ci sono algoritmi che muovono un minimo a direzione casuale, ma

lungo la direzione di massima discesa della funzione  $V \Rightarrow$  lungo la direzione dell'antigradiente (in gatti il gradiente di  $V$  punta a  $\frac{\partial V}{\partial x}$  è normale alla curva di livello ed è diretto lungo la direzione di massima



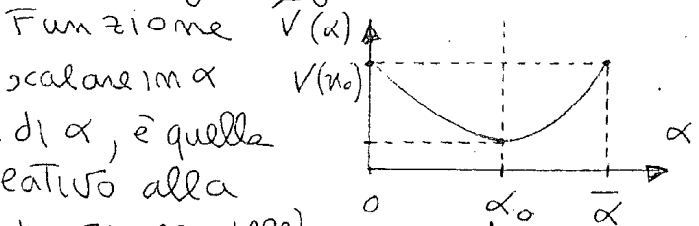
salita della  $V$ ). Un algoritmo di Matlab che utilizza è antigradiente  $(-\frac{\partial V}{\partial x})$  è quello della funzione  $f_{\text{minunc}}$  (dove unc sta per unconstrained  $\rightarrow$  non vincolato  $\Rightarrow \exists$  anche funzioni che prevedono è impostazione di vincoli). Tale algoritmo è facilitato nella scelta perché dopo aver calcolato  $V(x_0)$ , calcola  $-\frac{\partial V(x)}{\partial x} / x_0 \Rightarrow$  la direzione è identificata immediatamente.

Nasce il pb di determinare di quanto bisogna muoversi lungo tale direzione, cioè determinare il parametro  $\alpha > 0$  tale che:

$$x_1 = x_0 - \alpha \left( \frac{\partial V}{\partial x} / x_0 \right)$$

In gatti se  $\alpha$  è troppo elevato posso andare a finire su curve di livello più alte di quelle di partenza, mentre per  $\alpha$  troppo piccolo il processo è troppo lungo. Posso pensare di risolvere un pb di minimizzazione scalare della funzione calcolata lungo la direzione dell'antigradiente: si introduce allora la seguente funzione scalare:

$$V(x_0 - \alpha \frac{\partial V}{\partial x} / x_0) = \tilde{V}(\alpha)$$



Una delle tecniche per la scelta di  $\alpha$ , è quella di considerare il valore di  $\alpha$  relativo alla curva di livello tangente alla direzione dell'antigradiente, risolvendo l'eq:  $\frac{\partial \tilde{V}}{\partial \alpha} = 0 \Rightarrow$  otteniamo un valore  $\alpha = \alpha_0$  per cui  $\frac{\partial \tilde{V}}{\partial \alpha} / \alpha_0 = 0$  e si può individuare il punto  $x_1$  che giace su quella particolare curva di livello

(oss: Se prendiamo  $\alpha$  maggiore di  $\alpha_0$ , la  $V(x)$  torna a crescere fino a raggiungere il valore  $V(x_0)$  per  $\alpha = \bar{\alpha}$ ). A questo punto dell'algoritmo si itera quanto fatto finora, cioè si calcola il

gradiente in  $x_1$ , e si cerca nella direzione del gradiente il valore di  $\alpha$  relativo alla curva di livello tangente a tale direzione punto in oltre il punto  $x_2 \dots$  fino a che non si arriva in  $x = x^*$  cioè nel punto di minimo. I passi dell'algoritmo sono:

1)  $x_0, K=0$

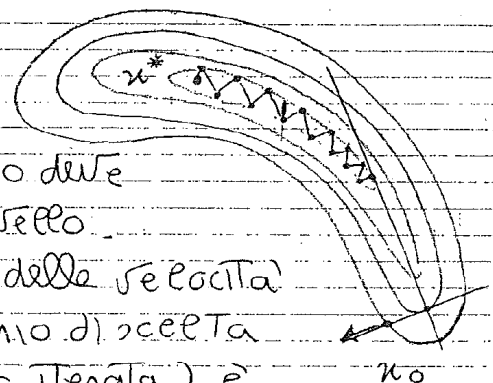
2)  $x(\alpha) = x_k - \alpha \frac{\partial V}{\partial x} \Big|_{x_k}$

3)  $\tilde{V}(\alpha) = V(x(\alpha))$

4)  $\alpha_k : \frac{\partial \tilde{V}}{\partial \alpha} \Big|_{\alpha_k} = 0$  con  $\frac{\partial \tilde{V}}{\partial \alpha} = \frac{\partial V}{\partial x} \frac{\partial x}{\partial \alpha}$

$x_{k+1} = x_k - \alpha_k \frac{\partial V}{\partial x} \Big|_{x_k}$  ALGORITMO DEL GRADIENTE (O DELL'ANTIGRADIENTE)

Non è uno degli algoritmi migliori perché è un po' lento: se le curve di livello presentano un andamento (una forma) a "banana"  $\Rightarrow$  i tempi di convergenza ad  $x^*$  possono essere molto lunghi perché l'algoritmo deve seguire tutta la forma delle curve di livello.



OSS: Il parametro  $\alpha$  è responsabile della velocità di convergenza dell'algoritmo. Il criterio di scelta del valore di  $\alpha$  (il passo della procedura iterata) è indipendente dall'algoritmo del gradiente:  $\exists$  infatti altri criteri in base ai quali scegliere  $\alpha$ . (ES: si può scegliere il primo valore di  $\alpha$  per il quale c'è una discesa, cioè per il quale risulta  $V(x_0) > V(x_1) \dots$ ).

Per dimostrare la convergenza dell'algoritmo del gradiente si può pensare alla  $\oplus$  come alla soluzione di una eq. differenziale discretizzata. Si consideri una eq. differenziale non

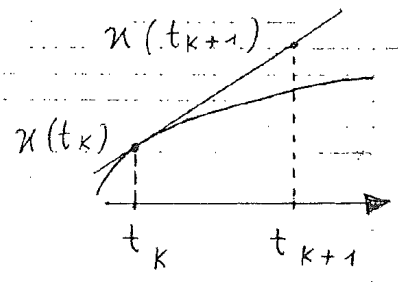
lineare:  $\dot{x}(t) = -\beta \left( \frac{\partial V}{\partial x}(x(t)) \right)^T = f(x(t))$

La soluzione con il metodo di Eulero al 1° ordine è:

$x(t_{k+1}) = x(t_k) + f(x(t_k)) (t_{k+1} - t_k)$

Adesso sostituendo  $f(x(t)) = -\beta \left( \frac{\partial V}{\partial x}(x) \right)^T$

e ponendo  $(t_{k+1} - t_k) = dt$  la soluzione diventa la seguente:



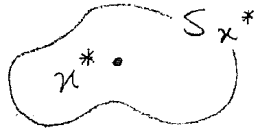
$$x_{k+1} = x_k - \beta \frac{\partial V}{\partial x} \Big|_{x_k} \Delta t$$

Questa è la soluzione discretizzata della eq. differenziale

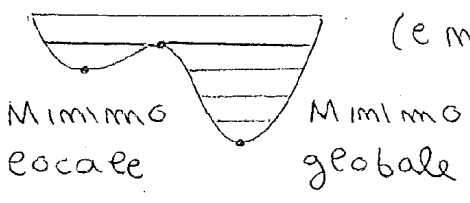
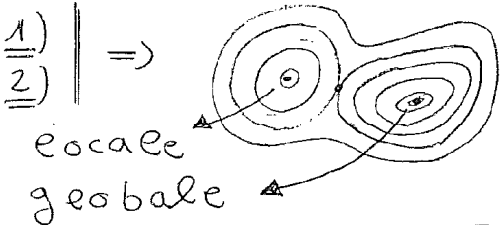
$\begin{cases} x(0) \\ \dot{x}(t) = -\beta \frac{\partial V}{\partial x}(x(t)) \end{cases}$  con  $\beta > 0$  ed  $x(t) \rightarrow x^*$   
 Per dimostrare che è algoritmo dell'antigradiente converge, basta

dimostrare che tale eq. differenziale ammette soluzione  $x(t)$  ed  $x(t)$  converge a  $x^*$ . Si fanno le seguenti Hp sulla  $V(x)$ :

- Hp:
- 1)  $V(x)$  è smooth (funzione "liscia").
  - 2)  $\exists S_{x^*} : V^* = V(x^*) < V(x) \forall x \in S_{x^*} \setminus \{x^*\}$
  - 3)  $\frac{\partial V}{\partial x} \Big|_{x^*} = 0$  e  $\frac{\partial V}{\partial x} \Big|_{x \neq x^*} \neq 0$  con  $x \in S_{x^*}$



Oss: Le ipotesi 1) e 2) non escludono la presenza o l'esistenza di minimi locali:



Questo algoritmo (e molti altri di ricerca dei minimi) ha il difetto

di non riuscire ad identificare con certezza il punto di minimo globale: se infatti  $x_0$  ricade all'interno dell'area racchiusa dalla curva di livello verde  $\Rightarrow$  l'algoritmo convergerebbe al minimo locale, se invece  $x_0$  fosse all'interno di quella rossa  $\Rightarrow$  l'algoritmo convergerebbe al minimo globale. L'Hp 3) esclude l'esistenza dei minimi locali (il punto stazionario è unico).

Th:  $x(t) \rightarrow x^*(t)$  si vuole dimostrare che sotto tali Hp la soluzione della eq. differenziale converge al punto di minimo

DIM: Si consideri una  $\bar{V}(x) = V(x) - V(x^*) > 0$  funzione definita positiva all'interno di  $S_{x^*} \rightarrow$  è una funzione di Lyapunov candidata, infatti dalle 1), 2)  $\Rightarrow$  è liscia ed è definita positiva in  $S_{x^*}$ . Andiamo a verificare che  $\dot{\bar{V}}(x) < 0$ :

$$\dot{\bar{V}}(x) = \frac{\partial \bar{V}}{\partial x} \dot{x} = \frac{\partial V}{\partial x} (-\beta \left(\frac{\partial V}{\partial x}\right)^T) = -\beta \frac{\partial V}{\partial x} \left(\frac{\partial V}{\partial x}\right)^T = -\beta \left\| \frac{\partial V}{\partial x} \right\|^2 < 0$$

$V(x^*) = \text{cost.}$

Oss:  $\frac{\partial V}{\partial x} = \left( \frac{\partial V}{\partial x_1} \dots \frac{\partial V}{\partial x_n} \right)$

La quantità evidenziata in rosso è sempre positiva - si annulla solo

per  $x = x^* \Rightarrow x^*$  è un punto di convergenza asintotica  
 $\Rightarrow$  la soluzione  $x(t)$  della  $\odot$  converge ad  $x^*(t) \Rightarrow$  è l'algoritmo del gradiente converge asintoticamente al punto di minimo (all'ottimo) scegliendo opportunamente  $\alpha$ .  
OSS: Non è una convergenza esponenziale, ma solo asintotica per cui potrebbe essere lento.

La soluzione al problema cinematico inverso  $\dot{p}_d = K(q)$ , può essere indicata più generalmente come soluzione al problema:

$y = A(x) \rightarrow$  Sistema di eq. non lineari che può essere risolto applicando l'algoritmo del gradiente ad una funzione  $V$

così definita:  $V(x) = (y - A(x))^T (y - A(x))$ , con  $A: \mathbb{R}^m \rightarrow \mathbb{R}^m$   
 ed  $x, y \in \mathbb{R}^m \Rightarrow$  robot quadruplo (non ridondanti)

$$\dot{x}(t) = -\beta \left( \frac{\partial V}{\partial x} \right)^T ; \quad \frac{\partial V}{\partial x} = 2(y - A(x))^T \left( -\frac{\partial A}{\partial x} \right) = -2(y - A(x))^T \frac{\partial A}{\partial x}$$

$$\Rightarrow \left( \frac{\partial V}{\partial x} \right)^T = -2 \left( \frac{\partial A}{\partial x} \right)^T (y - A(x)) \Rightarrow \text{Sostituendo } \left( \frac{\partial V}{\partial x} \right)^T \text{ nello espressione di } \dot{x}(t) \Rightarrow$$

$$\Rightarrow \dot{x}(t) = -\beta \left( \frac{\partial V}{\partial x} \right)^T = 2\beta \left( \frac{\partial A}{\partial x} \right)^T (y - A(x(t))) \rightarrow \text{raggiungo il mi}$$

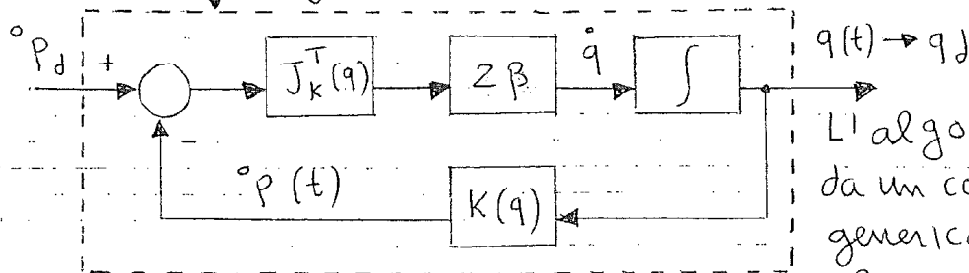
mino quando  $y - A(x) = 0 \Rightarrow y = A(x)$ , cioè quando il sistema è risolto mentre  $x(0)$  rappresenta l'errore iniziale. Tornando allo specifico,

in robotica ciò che si ottiene (ricordando che  $y = A(x)$  rappresenta  $\dot{p}_d = K(q)$  e ponendo  $\frac{\partial K}{\partial q} = J_K(q) \rightarrow$  JACOBIANO ANALITICO) è l'algoritmo:

$$\dot{q}(t) = 2\beta J_K^T(q(t)) (\dot{p}_d - K(q(t))) \quad \text{ALGORITMO DELLO JACOBIANO TRASPOSTO}$$

Lo schema a blocchi relativo a tale algoritmo è il seguente:

$q_0$  tale algoritmo converge ad una configurazione dei giunti  $q_d$  tale che  $\dot{p}_d = K(q_d)$ .



L'algoritmo è implementato da una configurazione  $q_0$  generica iniziale. Questo schema d'implementazione

cinematica viene ricavato applicando l'algoritmo del gradiente alla  $V(x) = (y - A(x))^T (y - A(x)) \rightarrow A: \mathbb{R}^m \rightarrow \mathbb{R}^m$  cioè per robot  $q_0$

quadrati, ma può essere applicato anche a robot ridondanti, ma in tal caso  $\nexists$  può un'unica soluzione (cioè  $y \in \mathbb{R}^m, x \in \mathbb{R}^n$  con  $m < n$ )  $\Rightarrow$  si converge ad una delle traiettorie qd possibile, non necessariamente la migliore. Il difetto di questo algoritmo è che, se durante una evoluzione da  $q_0$  a  $q_d$  si passa attraverso una configurazione singolare potremmo esserci dei problemi. Cioè se è vettore  $(\dot{p}_d - K(q(t)))$ , appartiene al null dello Jacobiano<sup>T</sup>

$(\dot{p}_d - K(q(t))) \in \mathcal{N}(J_K^T(q)) \Rightarrow$  è algoritmo si ferma senza raggiungere la posizione finale desiderata.

OSS: L'analisi della convergenza dell'algoritmo dello Jacobiano<sup>T</sup> si può effettuare mediante il criterio di Lyapunov, ma solo per i robot quadrati non ridondanti:

$\dot{V}(x) = \frac{\partial V}{\partial x} \dot{x} = -2 (y - A(x))^T \frac{\partial A}{\partial x} \dot{x} \Rightarrow$  Sostituendo l'espressione di  $\dot{x}$  trovata precedentemente:

$\Rightarrow \dot{V}(x) = -2 (y - A(x))^T \frac{\partial A}{\partial x} 2\beta \left(\frac{\partial A}{\partial x}\right)^T (y - A(x)) \Rightarrow$

$\Rightarrow \dot{V}(x) = -4\beta (y - A(x))^T \frac{\partial A}{\partial x} \left(\frac{\partial A}{\partial x}\right)^T (y - A(x)) \leq 0$  La  $\dot{V}(x)$  si annulla quando  $x = x^*$  con  $y = A(x^*)$

Simmetrica e semidefinita positiva

OSS: La  $\dot{V}(x)$  si può annullare senza che si sia raggiunto il punto  $x = x^*$  ( $\Rightarrow y - A(x)$  è un vettore appartenente al null dello Jacobiano Trasposto  $\Rightarrow (y - A(x)) \in \mathcal{N}\left(\left(\frac{\partial A}{\partial x}\right)^T\right)$ )

L'espressione di  $\dot{V}$  nel caso specifico dei robot è:

$$\dot{V}(q) = -4\beta (\dot{p}_d - K(q))^T J_K(q) J_K^T(q) (\dot{p}_d - K(q))$$

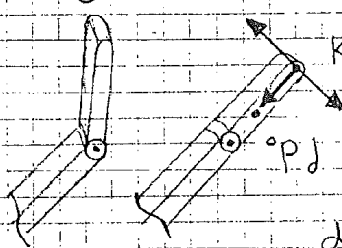
Potrebbe allora accadere Tre situazioni:

- a) Non si passa mai per punti singolari durante l'evoluzione di  $q$ ;
- b) Durante l'evoluzione di  $q$  si passa per un punto singolare (cioè  $J_K^T(q)$  cade di rango  $\Rightarrow$  ha un null  $\mathcal{N}(J_K^T(q)) \neq \{\emptyset\}$ ) ma il vettore d'errore  $\dot{p}_d - K(q) \notin \mathcal{N}(J_K^T(q)) \Rightarrow$  non ci sono problemi;
- c) Durante l'evoluzione di  $q$  si passa per un punto singolare ed il vettore d'errore appartiene al null dello Jacobiano Trasposto.  $\Rightarrow$  è algoritmo si ferma.

OSS: Se  $J_K^T(q)$  è non singolare  $\Rightarrow \mathcal{N}(J_K^T(q)) = \{\emptyset\}$

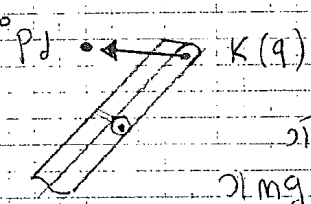


Graficamente la situazione è la seguente:

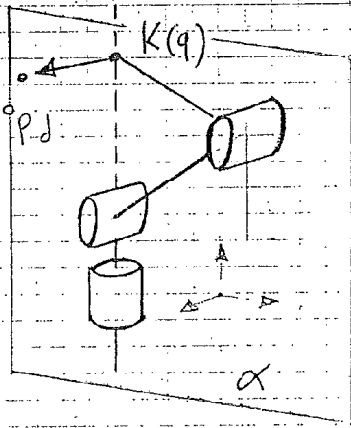


nel caso a) SX, la differenza tra  $K(q)$  attuale e la posizione desiderata  ${}^0p_j$  è un vettore ortogonale alla direzione di moto possibile, indicata dalle colonne dello Jacobiano Trasposto:  $({}^0p_j - K(q))^T [J_1 J_2]$

La direzione del movimento è quindi proibita. In questo secondo



caso, è erroneo  ${}^0p_j - K(q) \neq 0$  al nullo dello Jacobiano Trasposto per cui l'algoritmo converge a  ${}^0p_j$ . La situazione indicata è quella del caso b). Infatti c'è l'ingorantia perché il braccio è completamente esteso, ma la direzione di moto non è tale da produrre uno stall.



Nel caso del robot antropomorfo, l'algoritmo dello Jacobiano Trasposto fallisce quando la configurazione è quella con la mano sull'asse verticale del robot e la direzione dell'errore  ${}^0p_j - K(q)$  è perpendicolare al piano  $\alpha$  indice. To in figura a) SX. oss: Si ricomincia che l'algoritmo è in stallo quando  $\dot{V}(x) = 0$  ma è erroneo  ${}^0p_j - K(x) \neq 0$ . In tali situazioni si impone un movimento casuale per sbloccare

l'algoritmo dallo stallo e fare in modo che converga a  ${}^0p_j$ .

ALGORITMO DI NEWTON APPLICATO ALLA CINEMATICA INVERSA

Devo trovare una legge  $\dot{x}(t) = f(x(t))$  tale che  $x(t)$  evolva in  $x^*(t)$  cioè  $x(t) \rightarrow x^*(t)$ , con  $x^*$  tale che  $y = A(x^*)$ .

Aggiungo ciò accade:

$$V(x(t)) = (y - A(x))^T (y - A(x)) \rightarrow 0 \quad (\text{in modo che } y = A(x))$$

Voglio che  $x^*$  sia il punto di equilibrio Asintoticamente stabile. CNS affinché ciò avvenga (per il Teorema di Lyapunov) è

$$\text{che: } \dot{V}(x) = -2(y - A(x))^T \frac{\partial A}{\partial x} \dot{x} = -2(y - A(x))^T \frac{\partial A}{\partial x} f(x) < 0$$

Si può ottenere facilmente se  $\exists \beta > 0 \quad \left| \frac{\partial A}{\partial x} \right| \neq 0 \quad \forall x$  e pongo:

$$\Rightarrow f(x) = \beta \left( \frac{\partial A}{\partial x} \right)^{-1} (y - A(x)); \quad \text{con questa scelta di } f(x) \text{ semplifico } \dot{V} \text{ ottenendo una forma:}$$

$$\dot{V}(x) = -2\beta \underbrace{(y - A(x))^T (y - A(x))}_{V(x)} = -2\beta V(x) < 0$$

$\rightarrow V(x) > 0 : \text{ infatti } V(x) > 0$

c) è sempre definita positiva e si annulla solo  $x = x^*$ . Visto che  $x$  è una funzione del tempo  $\Rightarrow$  anche  $V$  dipende dal tempo:

$$\dot{V}(t) = -2\beta V(t) \Rightarrow V(t) = e^{-2\beta t} V(0)$$

$$V(x) = (y - A(x))^T (y - A(x)) = \|y - A(x)\|^2$$

$$\Rightarrow \|y - A(x)\|^2 \leq e^{-2\beta t} \|y - A(x(0))\|^2 \Rightarrow \text{operando e a radice quadrata}$$

$$\Rightarrow \|y - A(x)\| \leq e^{-\beta t} \|y - A(x(0))\|$$

C'è quindi una convergenza esponenziale della norma dell'errore (moltiplicata da una funzione esponenziale decrescente). La  $f(x)$  generale imposta:

$$f(x) = \beta \left( \frac{\partial A}{\partial x} \right)^{-1} (y - A(x))$$

$$\dot{q}(t) = \beta J_K^{-1}(q(t)) (p - K(q(t)))$$

ALGORITMO DELLO JACOBIANO INVERSO

Lo schema a blocchi rappresentativo dell'algoritmo è lo stesso di quello precedentemente (basta sostituire  $J_K^T(q)$  con  $J_K^{-1}(q)$ , e  $2\beta$  con  $\beta$ ). OSS: Prima non ci occupiamo di indicazioni sulla convergenza (sulla velocità di convergenza), ora invece so che il coefficiente  $\beta = \bar{\beta} \Rightarrow$  la velocità di convergenza dipende da  $e^{-2\bar{\beta}t}$ .

Tuttavia l'algoritmo è più oneroso perché si deve calcolare l'inversa al posto della trasposta  $\Rightarrow$  per cui vale solo nei sistemi quadrati. Inoltre l'algoritmo dello jacobiano inverso è meno robusto di quello dello jacobiano trasposto perché non può mai andare in singolarità (perché altrimenti galleggere) mentre il trasposto può lavorare anche in singolarità (caso b). Inoltre il risultato dell'algoritmo può essere o solo un punto finale  $x^*$  o anche tutta una traiettoria  $x^*(t)$ , che può essere migliorata o corretta imponendo dei vincoli (posizione finale di max manipolabilità...).

RIC: L'algoritmo dello jacobiano inverso è basato sull'algoritmo di Newton e risolve pb del tipo  $y = A(x)$ . Se parto da una soluzione d'immerso  $x_0 \sim x^*$  cioè vicina alla soluzione reale (per la quale risulta  $y = A(x^*)$ ), mentre in genere  $y - A(x_0) \neq 0$  posso pensare di sviluppare  $A(x^*)$  in serie (ovvero in serie di un vettore di funzioni al primo ordine:  $A(x) = \begin{pmatrix} a_1(x) \\ \vdots \\ a_m(x) \end{pmatrix}$ ):

$$A(x^*) \cong A(x_0) + \frac{\partial A}{\partial x} \Big|_{x_0} (x^* - x_0) \Rightarrow \text{Risolvo rispetto } x^* \text{ questa equazione}$$

$\Rightarrow y = A(x_0) = \left. \frac{\partial A}{\partial x} \right|_{x_0} (x^* - x_0) \Rightarrow$  Questa è una eq. lin

$\Rightarrow x^* = x_0 + \left( \frac{\partial A}{\partial x} \right)^{-1} (y - A(x_0))$  È una situazione ideale, quella in cui si arriva all'ottimo in un solo passo (da  $x_0$  a  $x^*$  direttamente).

Visto che, generalmente, non mi trovo vicino a  $x^* \Rightarrow$  devo iterare il procedimento  $\Rightarrow$  algoritmo di Newton. Il primo passo dell'iterazione è:

$x_1 = x_0 + \left( \frac{\partial A}{\partial x} \right)^{-1} (y - A(x_0))$  mentre il passo generico  $k$  è:

$x_{k+1} = x_k + \left( \frac{\partial A}{\partial x} \right)^{-1} (y - A(x_k))$  che può essere pensato come soluzione discretizzata della eq. differenziale:

$\dot{x}(t) = -\beta \left( \frac{\partial A}{\partial x} \right)^{-1} (y - A(x(t)))$  con  $\partial A / \partial x$  matrice Jacobiana delle cinematiche dirette.

Può inoltre essere utilizzato per cercare il minimo di  $V(x) : \mathbb{R}^m \rightarrow \mathbb{R}^+$  imponendo la condizione di stazionarietà:

$$0 = \left( \frac{\partial V}{\partial x} \right)^T \Big|_{x^*} = A(x) \Rightarrow \frac{\partial A}{\partial x} = \frac{\partial}{\partial x} \left[ \left( \frac{\partial V}{\partial x} \right)^T \right] = \frac{\partial^2 V}{\partial x^2}$$

Se ho un algoritmo che risolve  $y = A(x)$  (m.eq. lin m incognite), allora posso risolvere anche questo pb con  $y=0$  e  $A(x) = \left( \frac{\partial V}{\partial x} \right)^T \Big|_{x^*}$ . OSS:  $\frac{\partial}{\partial x} \left[ \left( \frac{\partial V}{\partial x} \right)^T \right]_{i,j} = \frac{\partial^2 V}{\partial x_i \partial x_j}$  è la matrice Hessiana, cioè la matrice delle derivate seconde. (è una matrice simmetrica).

In tal caso l'algoritmo diventa il seguente:

$$x_{k+1} = x_k - \left( \frac{\partial^2 V}{\partial x^2} \right)^{-1} \left( \frac{\partial V}{\partial x} \right)^T \Big|_{x_k}$$

Quindi è algoritmo di Newton può essere utilizzato per la risoluzione di 2 pb:

- 1) Risolve il problema  $y = A(x) \Rightarrow$  pb di cinematica inversa
- 2) Risolve il problema di minimo delle  $V(x)$ .

OSS: L'algoritmo del gradiente per la minimizzazione di una funzione è:  $x_{k+1} = x_k - \alpha_k \left( \frac{\partial V}{\partial x} \right)^T$ . È necessario scegliere un  $\alpha_k$  che di cada quanto muoversi lungo la direzione di discesa. Nell'algoritmo non vedere fare questa scelta ma c'è il calcolo di una inversa. Inoltre affinché il pb di minimo ammetta una soluzione, l'Hessiana deve essere una matrice definita positiva (derivata seconda).

positiva  $\Rightarrow$  concavità verso è alto  $\Rightarrow \exists$  minimo della funzione)  
 per cui il prodotto  $(\frac{\partial^2 V}{\partial x^2})^{-1} (\frac{\partial V}{\partial x})^T |_{x^*} > 0 \Rightarrow$  con il meno davanti è  
 direzione è di discesa.

Insomma è algoritmo di Newton applicato ad un paraboloide (cioè  
 funzioni quadratiche) restituisce ottimo in un solo passo: sia  $V(x)$   
 una funzione quadratica  $V(x) = x^T S x + c^T x + b$  con  $S = S^T > c$

DIM: Il minimo di  $V(x)$  si può calcolare uguagliando a zero  
 il gradiente oppure con un solo passo dell'algoritmo di Newton a  
 partire da  $x_0$  (perché è una funzione che ammontiglia localmente  
 ad un paraboloide):

ANNULLO  
 GRADIENTE:  $\frac{\partial V}{\partial x} |_{x^*} = 0 = 2x^{*T} S + c^T \Rightarrow 2Sx^* + c = 0 \Rightarrow$

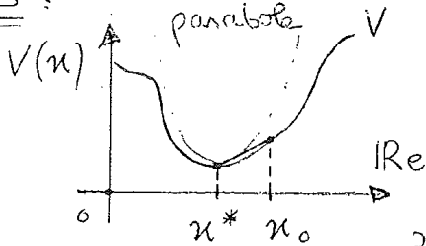
$\Rightarrow x^* = -\frac{1}{2} S^{-1} c$  Se ora applichiamo è algoritmo di Newton  
 partendo da è immesso  $x_0$ :

$x_1 = x_0 - \frac{1}{2} S^{-1} (2Sx_0 + c) \Rightarrow x_1 = -\frac{1}{2} S^{-1} c = x^*$   $\square$

$\frac{\partial}{\partial x} (\frac{\partial V}{\partial x})^T = \frac{\partial}{\partial x} (2Sx + c) = 2S \Rightarrow (\frac{\partial^2 V}{\partial x^2})^{-1} = \frac{1}{2} S^{-1}$

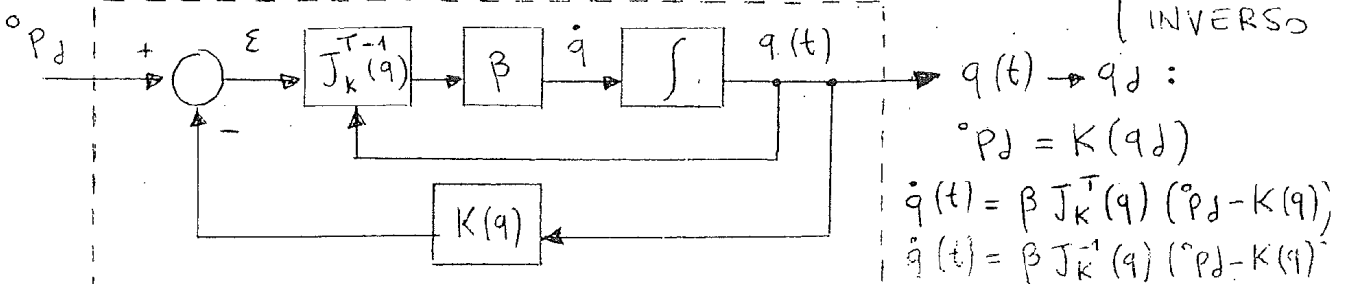
$\frac{\partial V}{\partial x} |_{x_0} = 2Sx_0 + c$  Quindi è algoritmo di Newton ap-  
 plicato ad una funzione quadratica  
 porta alle soluzioni con un solo passo.  
 Nel caso della robotica tale algoritmo  
 dà vita all'algoritmo dello Jacobiano  
 inverso  $\Rightarrow$  viene usato per risolvere de-  
 sistemi di eq. non lineari.

ES:



RIC: ALGORITMO GRADIENTE  $\rightarrow$  ALGORITMO JACOBIANO TRASPOSTO  
 ALGORITMO DI NEWTON  $\rightarrow$  ALGORITMO DELLO JACOBIANO INVERSO

Schema a blocchi relativo all'algoritmo dello Jacobiano  $\left\{ \begin{array}{l} \text{TRASPOSTO} \\ \text{INVERSO} \end{array} \right.$

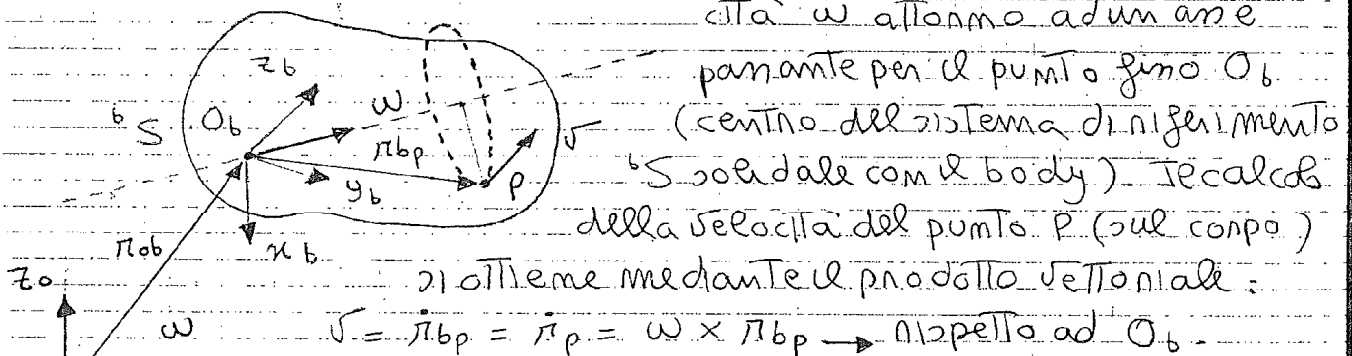


OSS:  $J_k(q) = \frac{\partial K(q)}{\partial q}$  con  $K(q) = \begin{pmatrix} K_p(q) \\ K_o(q) \end{pmatrix}$  ed  $\left\{ \begin{array}{l} p_{om} = K_p(q) \\ \tilde{\varphi} = K_o(q) \end{array} \right.$   
 $\rightarrow$  Jacobiano analitico  $\rightarrow$  settore di derivate.

Lo Jacobiano  $J_k(q)$  è detto analitico per distinguere da quello geometrico che introdurremo più avanti. Mediante lo schema a blocchi precedente,  $\forall p_j$  si ricava  $q$  corrispondente. Data  ${}^0T_m(q) = {}^0T_1(q_1) \cdot {}^0T_2(q_2) \dots {}^{m-1}T_m(q_m)$  è facile calcolarne in maniera algoritmica (numericamente) e  ${}^0T_m$  dato  $q$ . Ma il termine Jacobiano analitico non deve trarre in inganno: in fatto è illusorio avere  ${}^0\dot{\pi}_m$  e  $\dot{\psi}$  in funzione di  $q$  in forma analitica (forma chiusa difficile da trattare simbolicamente). Lo steno per  ${}^0R_m(q) \rightarrow (\varphi, \theta, \psi)$ . Questo è il motivo per cui si ricorre allo Jacobiano geometrico (più intuitivo fisicamente). In fatto se usiamo lo Jacobiano analitico, per rappresentare la velocità di un robot si ricorriamo alle:

$$\begin{cases} {}^0\dot{\pi}_m = J_p(q) \dot{q} \\ \dot{\psi} = J_o(q) \dot{q} \end{cases}$$

In fisica si esprime meglio come vettore velocità angolare (vettore che rappresenta uno stato di moto e consente di calcolarne la velocità mediante prodotti vettoriali). Si consideri un corpo rigido in rotazione con velocità  $\omega$  attorno ad un'asse



OSS: Se conosco le coordinate di  $\omega$  in  ${}^0S$ , cioè se conosco  ${}^0\omega \Rightarrow$  posso determinare la rotazione del corpo (cioè non sarebbe possibile se conoscessi gli angoli di Eulero  $\varphi, \theta, \psi$ ). Se conosco  ${}^0\omega$  ed  ${}^0\pi_{bP} \Rightarrow$

$$\Rightarrow ({}^0\omega \times {}^0\pi_{bP}) = [{}^0\omega \times] {}^0\pi_{bP} \Rightarrow ({}^0\omega \times \pi_{bP}) = [{}^0\omega \times] {}^0\pi_{bP} \text{ in } {}^0S$$

L'operazione lineare  $[{}^0\omega \times]$  è una matrice <sup>anti</sup>simmetrica, infatti  $\pi \cdot (\omega \times \pi) = 0 \forall \pi \Rightarrow {}^0\pi^T [{}^0\omega \times] {}^0\pi = 0 \Rightarrow [{}^0\omega \times]$  è una matrice antisimmetrica perché la forma quadratica è sempre nulla  $\forall \pi$ .

OSS: Dimostriamo quanto detto sopra (cioè che se una matrice ha forma quadratica sempre nulla, allora è antisimmetrica).

HP:  $\pi^T S \pi = 0 \forall \pi$ ; TR:  $S^T = -S \Rightarrow$

DIM:  $-0 = 0^T \Rightarrow -x^T S x = x^T S^T x \Rightarrow x^T (S + S^T) x = 0$

Una generica matrice  $A$  è sempre esprimibile come somma di una parte simmetrica ed una antisimmetrica, cioè  $\forall A$  ammette una decomposizione che è unica:

$$A = \frac{A^T + A}{2} + \frac{A - A^T}{2} \Rightarrow A = A_S + A_A \rightarrow \text{Solo la parte sim.}$$

metrica della matrice ( $A_S$ ) è responsabile della forma quadratica.

Infatti:  $\begin{cases} A_A^T = -A_A \\ A_S^T = A_S \end{cases} \Rightarrow x^T A x = x^T A_S x + x^T A_A x = x^T A_S x$

$$x^T A_A x = \frac{1}{2} x^T (A - A^T) x = \frac{1}{2} (x^T A x - x^T A^T x) = 0$$

$$x^T A x = (x^T A x)^T = x^T A^T x \text{ scalare}$$

Quando scrivo una forma quadratica posso sempre supporre che  $A$  sia una matrice simmetrica, in quanto il contributo della eventuale parte antisimmetrica della matrice alla forma quadratica è nullo.

OSS:  $\frac{\partial}{\partial x} (x^T A x) = x^T A + x^T A^T = x^T (A + A^T) = 2 x^T A_S$   
 $\downarrow A \neq A^T$

mentre se  $S = S^T \Rightarrow \frac{\partial}{\partial x} (x^T S x) = x^T S + x^T S = 2 x^T S$

Quindi dato che  $[{}^0 \omega \times]$  dà contributo nullo alla forme quadratiche  $\forall x \Rightarrow$  è una matrice antisimmetrica.

$$[{}^0 \omega \times] = \begin{bmatrix} 0 & -\omega_z & \omega_y \\ \omega_z & 0 & -\omega_x \\ -\omega_y & \omega_x & 0 \end{bmatrix} \Rightarrow ({}^0 \omega \times \pi_{bp}) = [{}^0 \omega \times] \pi_{bp} = [{}^0 \omega \times]^T \pi_{bp}$$

L'unico modo per avere che  $A^T = -A \Rightarrow$  diagonale principale = 0.

Per conoscere la velocità angolare istantanea  $\omega(t)$  associata allo stato di moto istantaneo  ${}^0 R_m(t)$  di un corpo rigido in un punto  $P$  del corpo stesso ( ${}^0 R_m(t) \leftarrow \omega(t)$ )  $\rightarrow$  calcolo  ${}^0 \dot{\pi}_{bp}(t)$  in 2 mod

$${}^0 \pi_{bp}(t) = {}^0 R_b(t) {}^b \pi_{bp} \Rightarrow {}^0 \dot{\pi}_{bp}(t) = {}^0 \dot{R}_b(t) {}^b \pi_{bp} \Rightarrow$$

Variano nel riferimento  ${}^0 S$  prima notazione costante in  ${}^b S$

$$\Rightarrow {}^0 \dot{\pi}_{bp}(t) = {}^0 \dot{R}_b(t) {}^0 R_b^T(t) {}^0 \pi_{bp}(t) : \text{velocità del punto } P \text{ solidale al corpo rigido, nota se conosco } {}^0 \dot{R}_b(t). \text{ Un altro modo per calcolare } {}^0 \dot{\pi}_{bp}(t) \text{ è la seguente:}$$

$${}^0 \dot{\pi}_{bp}(t) = [{}^0 \omega_b(t) \times] {}^0 \pi_{bp}(t) \Rightarrow [{}^0 \omega_b \times] = {}^0 \dot{R}_b {}^0 R_b^T$$

Equagliando gli operatori  $\leftarrow$

Si verifica facilmente che la matrice  $K_b K_b$  è univale  
 metrica perché:  ${}^0 R_b {}^0 R_b^T = I \Rightarrow \frac{d}{dt} d({}^0 R_b {}^0 R_b^T) = 0 \Rightarrow$

$$\Rightarrow \frac{d}{dt} {}^0 R_b {}^0 R_b^T = 0 \Rightarrow {}^0 \dot{R}_b {}^0 R_b^T + {}^0 R_b {}^0 \dot{R}_b^T = 0 \Rightarrow$$

$$\Rightarrow {}^0 \dot{R}_b {}^0 R_b^T = - {}^0 R_b {}^0 \dot{R}_b^T \Rightarrow {}^0 \dot{R}_b {}^0 R_b^T = - [{}^0 \dot{R}_b {}^0 R_b^T]^T \Rightarrow$$

$\Rightarrow {}^0 \dot{R}_b {}^0 R_b^T$  è una matrice antisimmetrica  $\blacksquare$ .

Se chiamo l'operatore  $[{}^0 \omega_b \times] = {}^0 \dot{R}_b {}^0 R_b^T = S \Rightarrow$  posso esprimere le componenti di  ${}^0 \omega_b$  in funzione delle componenti di  $S$ :

Si può fare il viceversa, cioè

$${}^0 \omega_b = \frac{1}{2} \begin{bmatrix} S_{32} - S_{23} \\ S_{13} - S_{31} \\ S_{21} - S_{12} \end{bmatrix} = \begin{bmatrix} {}^0 \omega_x \\ {}^0 \omega_y \\ {}^0 \omega_z \end{bmatrix}$$

data la  ${}^0 \omega_b$  relativa ad

una certa  ${}^0 R_b$  dalla  $\oplus$  cinematica:  ${}^0 \dot{R}_b = [{}^0 \omega_b \times] {}^0 R_b$

Questa equazione Tomera utile nella dinamica del robot. Lo Jacobiano geometrico è quell'operatore che trasforma le velocità di giunto nelle velocità di traslazione e nel settore velocità angolare dell'ultimo braccio (al posto delle derivate degli angoli di Euler, come avviene con Jacobiano analitico):

$$\boxed{J(q) \dot{q} = \begin{bmatrix} \dot{\pi}_{om} \\ {}^0 \omega_m \end{bmatrix}}$$

Lo Jacobiano geometrico  $J(q)$   $\oplus$  indica senza pedici. Per poterlo esprimere bisogna mettere in relazione le velo-

cità angolari del corpo rigido con le derivate degli angoli di Euler:

$${}^0 \omega_b = G(\tilde{\varphi}) \tilde{\dot{\varphi}} \text{ con } \tilde{\varphi} = \begin{pmatrix} \varphi \\ \dot{\varphi} \\ \ddot{\varphi} \end{pmatrix} \oplus$$

OSS:

$$\begin{bmatrix} \dot{\pi}_{om} \\ \tilde{\dot{\varphi}} \end{bmatrix} = \begin{bmatrix} J_p(q) \\ J_o(q) \end{bmatrix} \dot{q} = J_k(q) \dot{q} = \frac{\partial k}{\partial q} \dot{q} \rightarrow \text{JACOBIANO ANALITICO}$$

$$\begin{bmatrix} \dot{\pi}_{om} \\ {}^0 \omega_m \end{bmatrix} = \begin{bmatrix} J_p(q) \\ J_w(q) \end{bmatrix} \dot{q} = J(q) \dot{q} \rightarrow \text{JACOBIANO GEOMETRICO}$$

Lo Jacobiano analitico ha una componente per la rappresentazione della posizione ed una per la rappresentazione dell'orientamento; quello geometrico è identico per quanto riguarda la componente posizionale, la differenza  $\exists$  nella descrizione dell'orientamento:

W<sub>5</sub>

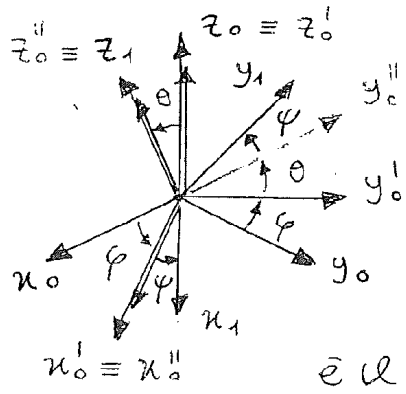
$${}^0\omega_{om} = G(\tilde{\varphi}) \cdot \tilde{\dot{\varphi}} = G(\tilde{\varphi}) J_0(q) \dot{q} = J_w(q) \dot{q} \Rightarrow$$

$\Rightarrow J_w(q) = G(\tilde{\varphi}) J_0(q)$  cioè  $J_w(q)$  si può fattorizzare. Dobbiamo trovare  $G(\tilde{\varphi})$  per ottenere  $J_w$  e quindi  $J$ , senza operare le derivate. In forma compatta si può scrivere:

$$J(q) = \begin{bmatrix} I & 0 \\ 0 & G(\tilde{\varphi}) \end{bmatrix} J_k(q)$$

Calcoliamo la matrice  $G(\tilde{\varphi})$  in un caso, quando

appliciamo la convenzione ZYZ cioè gli angoli  $\varphi, \theta, \psi$  di Eulero attorno ad assi solidali al riferimento ruotato. Visto che



la notazione avviene attorno ad assi consecutivi, la composizione si scrive con l'ultima notazione fatta a DX e la prima a SX:

$${}^0R_1 = R(\varphi, \theta, \psi) = R_z(\varphi) R_x(\theta) R_z(\psi)$$

$\exists$  2 modi per calcolarne  ${}^0\dot{R}_1$ , che ci servirà poi per calcolarne  $[{}^0\omega_x] = {}^0\dot{R}_1 {}^0R_1^T$ . Il primo è il metodo analitico (si consideri  ${}^0R_1 = R$ ):

$${}^0\dot{R}_1 = \frac{\partial R}{\partial \varphi} \dot{\varphi} + \frac{\partial R}{\partial \theta} \dot{\theta} + \frac{\partial R}{\partial \psi} \dot{\psi} = \dot{R} \Rightarrow \text{calcoliamo } [{}^0\omega_x]:$$

$$\Rightarrow [{}^0\omega_x] = \dot{R} R^T = \underbrace{\frac{\partial R}{\partial \varphi} R^T}_{(1)} \dot{\varphi} + \underbrace{\frac{\partial R}{\partial \theta} R^T}_{(2)} \dot{\theta} + \underbrace{\frac{\partial R}{\partial \psi} R^T}_{(3)} \dot{\psi};$$

Calcoliamo separatamente i tre contributi evidenziati per poi ricomporre il tutto:

$$\begin{aligned} (1) \Rightarrow \frac{\partial R}{\partial \varphi} R^T &= \frac{\partial R_z(\varphi)}{\partial \varphi} R_z^T(\psi) R_x^T(\theta) R_z^T(\varphi) \xrightarrow{=} R^T = R^{-1} \\ &= \left[ \frac{\partial R_z(\varphi)}{\partial \varphi} R_x(\theta) R_z(\psi) \right] R_z^T(\psi) R_x^T(\theta) R_z^T(\varphi) = \frac{\partial R_z(\varphi)}{\partial \varphi} R_z^T(\varphi) \end{aligned}$$

Questo è il contributo di  $\varphi$  ad  $\omega$ ; ricordando che:

$$R_z^T(\varphi) = \begin{bmatrix} c\varphi & s\varphi & 0 \\ -s\varphi & c\varphi & 0 \\ 0 & 0 & 1 \end{bmatrix} \quad \text{e} \quad \frac{\partial R_z}{\partial \varphi} = \begin{bmatrix} -s\varphi & -c\varphi & 0 \\ c\varphi & -s\varphi & 0 \\ 0 & 0 & 0 \end{bmatrix} \Rightarrow$$

Il contributo al vettore velocità angolare della notazione di un angolo  $\varphi$  attorno all'asse z ( $R_z(\varphi(t))$ ) è il seguente:

$$\dot{R}_z(\varphi) R_z^T(\varphi) \dot{\varphi} = [{}^0\omega(t)_x] = \left[ \frac{\partial R_z}{\partial \varphi} R_z^T(\varphi) \right] \dot{\varphi} \Rightarrow$$

$$\text{Rotaz. di } \varphi \text{ attorno a } z: {}^0\omega(t) = {}^z_0 \dot{\varphi} = \begin{bmatrix} 0 \\ 0 \\ \dot{\varphi} \end{bmatrix} \dot{\varphi} = \dot{\omega}_z$$

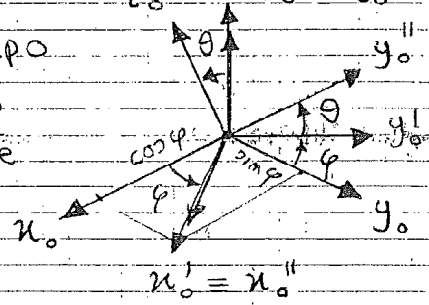


$$\Rightarrow \dot{R}_z(\varphi) R_z^T(\varphi) \dot{\varphi} = \begin{bmatrix} 0 & -1 & 0 \\ 1 & 0 & 0 \\ 0 & 0 & 0 \end{bmatrix} \dot{\varphi}$$

Matrice antisimmetrica nella quale è di verso da zero  $\omega_z$  e componente  $\omega_z$  lungo l'asse z ed ha modulo  $\dot{\varphi}$  (confrontata con la definizione della matrice  $[\omega \times]$ ). Il contributo di  $\dot{\varphi}$  è esattamente lungo  $z_0$ . Consideriamo un altro contributo  $\dot{\theta}$  attorno all'asse  $x_0$ . Il contributo  $\dot{\theta}$  attorno a  $x_0$  da una  $\Rightarrow \omega = \dot{x}_0 \dot{\theta} \Rightarrow$

$$\Rightarrow \omega = \begin{pmatrix} c\varphi \\ s\varphi \\ 0 \end{pmatrix} \dot{\theta}$$

Il contributo alla velocità angolare del corpo rigido prodotto da una rotazione di un angolo  $\dot{\theta}$  attorno ad  $x_0$ , si può dedurre facilmente in modo geometrico orientando che  $x_0'$  ha coordinate in  $S$  pari a  $\begin{pmatrix} c\varphi \\ s\varphi \\ 0 \end{pmatrix}$ . Lo stesso risultato si ottiene se



Lo stesso risultato si ottiene se si considera il procedimento analitico:

②  $\Rightarrow \frac{\partial R}{\partial \theta} R^T = R_z(\varphi) \frac{\partial R_x(\theta)}{\partial \theta} R_z^T(\varphi) = R_z(\varphi) \begin{bmatrix} 0 & 0 & 0 \\ 0 & -s\theta & -c\theta \\ 0 & c\theta & -s\theta \end{bmatrix} R_z^T(\varphi) \Rightarrow$

considerando che:  $R_x = \begin{bmatrix} 1 & 0 & 0 \\ 0 & c\theta & -s\theta \\ 0 & s\theta & c\theta \end{bmatrix}$  e  $\frac{\partial R_x}{\partial \theta} = \begin{bmatrix} 0 & 0 & 0 \\ 0 & -s\theta & -c\theta \\ 0 & c\theta & -s\theta \end{bmatrix}$

$$\frac{\partial R_x}{\partial \theta} R_x^T(\theta) = \begin{bmatrix} 1 & 0 & 0 \\ 0 & c\theta & -s\theta \\ 0 & s\theta & c\theta \end{bmatrix} \begin{bmatrix} 0 & 0 & 0 \\ 0 & -s\theta & -c\theta \\ 0 & c\theta & -s\theta \end{bmatrix} = \begin{bmatrix} 0 & 0 & 0 \\ 0 & 0 & -1 \\ 0 & 1 & 0 \end{bmatrix}$$

$$\Rightarrow \frac{\partial R}{\partial \theta} R^T = R_z(\varphi) \left[ \frac{\partial R_x}{\partial \theta} R_x^T(\theta) \right] R_z^T(\varphi) = R_z(\varphi) \begin{bmatrix} 0 & 0 & 0 \\ 0 & 0 & -1 \\ 0 & 1 & 0 \end{bmatrix} R_z^T(\varphi) =$$

$$= \begin{bmatrix} c\varphi & -s\varphi & 0 \\ s\varphi & c\varphi & 0 \\ 0 & 0 & 1 \end{bmatrix} \begin{bmatrix} 0 & 0 & 0 \\ 0 & 0 & -1 \\ 0 & 1 & 0 \end{bmatrix} \begin{bmatrix} c\varphi & s\varphi & 0 \\ -s\varphi & c\varphi & 0 \\ 0 & 0 & 1 \end{bmatrix} = \begin{bmatrix} 0 & 0 & s\varphi \\ 0 & 0 & -c\varphi \\ -s\varphi & c\varphi & 0 \end{bmatrix} \Rightarrow$$

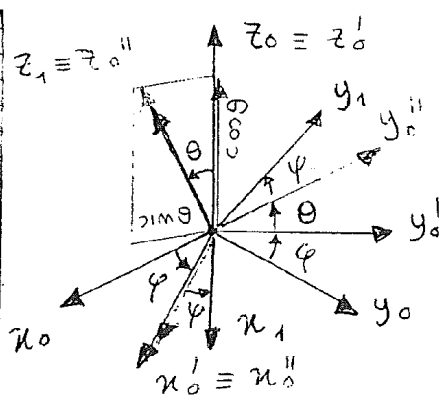
$$\Rightarrow \dot{R}_x(\theta) R_x^T(\theta) \dot{\theta} = \begin{bmatrix} 0 & 0 & s\varphi \\ 0 & 0 & -c\varphi \\ -s\varphi & c\varphi & 0 \end{bmatrix} \dot{\theta}$$

Il contributo di  $\dot{\theta}$  alla velocità angolare è lungo  $x_0'$  che ha componente  $\cos\varphi$  lungo  $x_0$  e  $\sin\varphi$  lungo  $y_0$ .

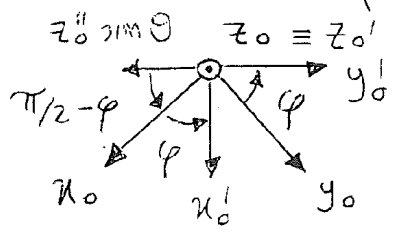
Immaginando la matrice  $[\omega \times] = \begin{bmatrix} 0 & -\omega_z & \omega_y \\ \omega_z & 0 & -\omega_x \\ -\omega_y & \omega_x & 0 \end{bmatrix}$  confrontandola con la matrice trovata, si può notare come  $\dot{\theta}$  interinesi solo le componenti  $\omega_x$  ed  $\omega_y$  con elementi proporzionali rispettivamente a  $\cos\varphi$  e  $\sin\varphi$ .

100

za  
a  
wz  
310  
5  
ane



Dall'alto la situazione è la seguente per quanto riguarda la deduzione geometrica dell'ultima componente:



Le coordinate di \$z\_0''\$ (e quindi di \$z\_1\$) nel riferimento \$S\$ sono: e seguenti:

$${}^0 z_1 = \begin{pmatrix} \cos(\pi/2 - \varphi) \sin \theta \\ -\sin(\pi/2 - \varphi) \sin \theta \\ \cos \theta \end{pmatrix} = \begin{pmatrix} \sin \varphi \sin \theta \\ -\cos \varphi \sin \theta \\ \cos \theta \end{pmatrix}$$

oppure si può ricorrere al metodo analitico visto precedentemente:

il contributo di \$\dot{\psi}\$ attorno all'asse \$z\_0'' \equiv z\_1\$ alla velocità di rotazione è:

$$\begin{aligned} \textcircled{3} \Rightarrow \frac{\partial R}{\partial \psi} R^T \dot{\psi} &= R_z(\varphi) R_x(\theta) \frac{\partial R_z(\varphi)}{\partial \psi} R_z^T(\varphi) R_x^T(\theta) R_z^T(\varphi) \dot{\psi} = \\ &= \begin{bmatrix} c\varphi & -s\varphi & 0 \\ s\varphi & c\varphi & 0 \\ 0 & 0 & 1 \end{bmatrix} \begin{bmatrix} c\theta & 0 & -s\theta \\ 0 & 1 & 0 \\ s\theta & 0 & c\theta \end{bmatrix} \begin{bmatrix} -s\varphi & -c\varphi & 0 \\ c\varphi & -s\varphi & 0 \\ 0 & 0 & 0 \end{bmatrix} \begin{bmatrix} c\varphi & s\varphi & 0 \\ -s\varphi & c\varphi & 0 \\ 0 & 0 & 1 \end{bmatrix} \begin{bmatrix} c\theta & 0 & s\theta \\ 0 & 1 & 0 \\ -s\theta & 0 & c\theta \end{bmatrix} \begin{bmatrix} c\varphi & s\varphi & 0 \\ -s\varphi & c\varphi & 0 \\ 0 & 0 & 1 \end{bmatrix} \dot{\psi} \end{aligned}$$

Selegendo in modo analogo quanto fatto prima il prodotto, si ottiene che \$\dot{\psi}\$ interviene nelle componenti \$w\_x, w\_y\$ ed \$w\_z\$ di \$w\$ con elementi proporzionali rispettivamente a \$\sin \varphi \sin \theta, -\cos \varphi \sin \theta\$ e \$\cos \theta\$. Più brevemente: il contributo di \$\dot{\psi}\$ ad \$w\$:

si può ottenere moltiplicando \$\dot{\psi}\$ per l'ultima colonna delle

\$R\_1 = R\_z(\varphi) R\_x(\theta) R\_z(\varphi)\$. Riscrivendo tutti i risultati ottenuti in un'unica formula si ottiene la soluzione del pb

di 3 facciate precedenti:

$$\begin{aligned} {}^0 \omega_1(t) &= {}^0 z_0 \dot{\vartheta} + {}^0 x_0' \dot{\vartheta} + {}^0 z_1 \dot{\psi} = \begin{bmatrix} 0 \\ 0 \\ 1 \end{bmatrix} \dot{\vartheta} + \begin{bmatrix} c\varphi \\ s\varphi \\ 0 \end{bmatrix} \dot{\vartheta} + \begin{bmatrix} s\varphi s\theta \\ -c\varphi s\theta \\ c\theta \end{bmatrix} \dot{\psi} = \\ &= \begin{bmatrix} 0 & c\varphi & s\varphi s\theta \\ 0 & s\varphi & -c\varphi s\theta \\ 1 & 0 & c\theta \end{bmatrix} \begin{bmatrix} \dot{\varphi} \\ \dot{\vartheta} \\ \dot{\psi} \end{bmatrix} = G(\tilde{\psi}) \tilde{\dot{\psi}} \Rightarrow \boxed{G(\tilde{\psi}) = \begin{bmatrix} 0 & c\varphi & s\varphi s\theta \\ 0 & s\varphi & -c\varphi s\theta \\ 1 & 0 & c\theta \end{bmatrix}} \end{aligned}$$

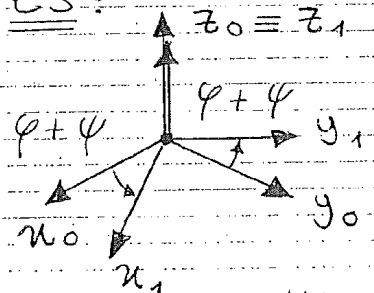
Abbiamo così ricavato la matrice \$G(\tilde{\psi})\$ che a partire dalle coordinate espresse in angoli di Eulero \$\tilde{\psi}\$ (e dalle derivate di tali angoli), restituisce la velocità angolare \$w\$. Questa rappresentazione, soffre di singolarità: infatti quando \$\theta = 0\$, si

Altrimenti sempre costante ma non il valore di  $\dot{\theta}$  poiché cioè  
 composito  $\dot{\varphi} + \dot{\psi}$  ma non composito  $\varphi$  e  $\psi$  separatamente. Infatti  
 quando  $\theta = 0$ , nella matrice di trasformazione  $G(\tilde{\varphi})$  ho  
 una caduta di rango:  $\dot{\varphi}$  e  $\dot{\psi}$  danno un contributo alla

velocità angolare attorno all'asse  
 $G(\tilde{\varphi}) = \begin{bmatrix} 0 & c\varphi & 0 \\ 0 & s\varphi & 0 \\ 1 & 0 & 1 \end{bmatrix}$   $\hat{z}_0$  (che ha coordinate  $\begin{pmatrix} 0 \\ 0 \\ 1 \end{pmatrix}$  in  
 $S$ )  $\Rightarrow$  singolarità. Ciò significa

che dato un certo moto espresso in angoli di Eulero  $\tilde{\varphi}$ ,  
 $\exists$  sempre una  $\omega$  tale che  $\omega = G(\tilde{\varphi}) \dot{\tilde{\varphi}}$  cioè una velo-  
 città angolare che esprime tale stato di moto; mentre  
 data una velocità angolare  $\omega$ , non sempre è possibile otte-  
 nere la descrizione di tale moto in termini di derivate degli  
 angoli di Eulero cioè  $\dot{\tilde{\varphi}} = G^{-1}(\tilde{\varphi}) \omega$  infatti  $G(\tilde{\varphi})$   
 potrebbe non essere invertibile  $\Rightarrow$  singolarità di rappresen-  
 tazione, non è una singolarità strutturale, ma deriva dal  
 metodo adottato per la rappresentazione dell'orientamento.  
 Ciò accade quando si vogliono rappresentare in termini  
 di angoli di Eulero e  $\hat{z}_0 \parallel \hat{z}_m$ .

ES: Se si vuole rappresentare una rotazione attorno  
 a  $\hat{z}_0$  con la velocità angolare, basta  
 considerare una  $\omega_{\hat{z}_0} = \dot{\varphi} + \dot{\psi} \Rightarrow$  un'unica  
 rappresentazione in termini di derivate  
 degli angoli di Eulero ed un'unica rapp.  
 corrispondente in termini di velocità  
 angolare.



Una rotazione  $\omega_x$  attorno ad  $x_1$  si rappresenta con  
 $\dot{\theta}$ . Non posso rappresentare rotazioni attorno ad assi fuori dal  
 piano  $x_1 = z_1$ . Questi sono i motivi per cui si cerca di evitare  
 o fare a meno della rappresentazione  $\tilde{\varphi}$ , e dalle  $\dot{q}$  si cerca  
 di ottenere direttamente le velocità angolari  $\omega$ . Il calcolo  
 dello Jacobiano geometrico si realizza senza effettuare delle  
 derivate, ma ricorrendo agli algoritmi in modo da legare  $\dot{q}$  in  
 modo diretto alle velocità lineari ed angolari senza passare attraverso  
 il calcolo esplicito della cinematica diretta:

$\begin{bmatrix} \dot{x}_{0m} \\ \dot{w}_{0m} \end{bmatrix} = J(q) \dot{q}$  per capire il legame  $\exists$  esistente tra gli stati di  
 moto di due bracci adiacenti connessi da  
 un giunto, si ricorre ad un disegno simile a quello visto  
 nelle conferenze di Denavit-Hartenberg:



L'algoritmo ricorsivo che andremo a aggiungere ha immesco:

$$\begin{cases} \dot{\pi}_{0,0} = 0 \\ \dot{\omega}_{0,0} = 0 \end{cases}$$

tenendo e calcolando i vettori  $z_{i-1}$  ed  $\pi_{i-1,i}$  ci muoviamo dal braccio zero fino al braccio  $m$ . Questi vettori possono essere presentati dalle

matrice di rototraslazione  ${}^{i-1}T_i(q_i)$ ; infatti risulta che  $z_{i-1}$  è l'ultima colonna della matrice di rotazione  ${}^{i-1}R_i(q_i)$  mentre  $\pi_{i-1,i}$  è l'ultima colonna (escluso il primo elemento) della matrice di rototraslazione  ${}^{i-1}T_i(q_i)$ . Oppure può essere conveniente partire dal riferimento  ${}^mS$  e calcolare

$${}^{m-1}T_m(q_m) \Rightarrow {}^{m-1}z_{m-1} = \begin{pmatrix} 0 \\ 0 \\ 1 \end{pmatrix}$$

in modo da eseguire somme sempre nelle coordinate locali (in queste coordinate l'asse  $z$  si esprime facilmente). Quello che interessa calcolare è

la matrice Jacobiana  $J(q)$  nella forma completa cioè come composizione della velocità di traslazione e di rotazione:

$$\begin{aligned} \dot{\pi}_{0,m} &= \dot{\pi}_{0,1} + \dot{\pi}_{1,2} + \dots + \dot{\pi}_{i-1,i} + \dots + \dot{\pi}_{m-1,m} \\ \dot{\omega}_{0,m} &= \dot{\omega}_{0,1} + \dot{\omega}_{1,2} + \dots + \dot{\omega}_{i-1,i} + \dots + \dot{\omega}_{m-1,m} \end{aligned}$$

Consideriamo un giunto a cerniera; il contributo del giunto  $i$ -mo alle velocità di traslazione (bloccando tutti gli altri giunti) dell'organo terminale:

$$\dot{\pi}_{i-1,m} = ([{}^0z_{i-1} \times] \pi_{i-1,m}) \dot{\theta}_i$$

Immagini per il giunto  $i$ -mo a cerniera si fa che:

$$\begin{cases} \dot{\pi}_{i-1,m} = \omega_{i-1,m} \times \pi_{i-1,m} \\ \omega_{i-1,m} = z_{i-1,m} \dot{\theta}_i \end{cases} \Rightarrow \dot{\pi}_{i-1,m} = (\dot{\theta}_i z_{i-1}) \times \pi_{i-1,m}$$

Avale del giunto  $i$  abbiamo un corpo rigido perché tutti gli altri giunti sono bloccati: la lunghezza di tale corpo è la distanza tra il centro  $O_{i-1}$  di  ${}^{i-1}S$  ed il centro  $O_m$  di  ${}^mS$ . Quindi la struttura dello Jacobiano geometrico è la seguente:

$J(q) = \begin{bmatrix} \text{TRASL.} \\ \text{ROTAZ.} \end{bmatrix}$

La colonna  $i$ -ma del blocco relativo alle traslazioni della matrice Jacobiana geometrica è chiamata  $J_{p_i}(q)$ , con  $q_k$  tali che  $k > i$  e  $k \leq m$  (è funzione della posizione dei giunti a valle del giunto  $i$ ), ed è un vettore tale che =

$$J_{P_i}(q) \Rightarrow {}^0\dot{\pi}_{i-1,m} = J_{P_i}(q) \dot{q} = \left( [{}^0z_{i-1} \times] {}^0\pi_{i-1,m} \right) \dot{\theta}_i$$

OSS:  ${}^0\dot{\pi}_{0,m} = {}^0\dot{\pi}_{i-1,m}$  perché non c'è movimento relativo tra  $O_0$  ed  $O_{i-1}$  in quanto i giunti da  $J_1$  fino a  $J_{i-1}$  sono tutti bloccati e solo  $J_i$  è libero di muoversi.

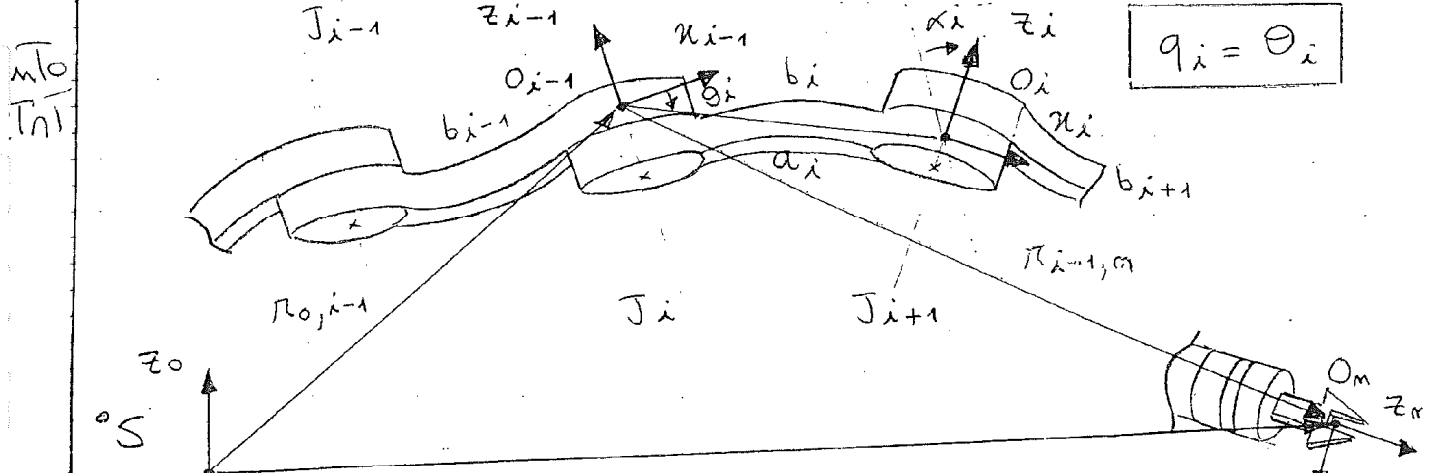
RIC: Per conoscere il contributo del giunto  $i$ -esimo alla velocità cartesiana dell'organo terminale si considera la seguente suddivisione della matrice Jacobiana geometrica:

$$J(q)\dot{q} = \begin{bmatrix} {}^0\dot{\pi}_{0,m} \\ {}^0\omega_{0,m} \end{bmatrix} = \begin{bmatrix} \vdots \\ \boxed{J_{P_i}(q)} \\ \vdots \\ \boxed{J_{W_i}(q)} \\ \vdots \end{bmatrix} \begin{bmatrix} q_1 \\ \vdots \\ q_i \\ \vdots \\ q_m \end{bmatrix} = \begin{bmatrix} \sum_{k=1}^m J_{P_k}(q) \dot{q}_k \\ \sum_{k=1}^m J_{W_k}(q) \dot{q}_k \end{bmatrix}$$

$\downarrow$   
i-ma colonna

$J_{P_i}(q)$ : contributo del giunto  $i$ -mo alla velocità di traslazione di  ${}^mS$ .  
 $J_{W_i}(q)$ : contributo del giunto  $i$ -mo alla velocità di rotazione di  ${}^mS$ .

Nei casi in cui  $i$  sia un giunto a cerniera o rotoidale (bloccando tutti gli altri giunti, cioè isolando il contributo di  $i$ ) si ha:



La velocità angolare di tutti i bracci a valle del giunto  $i$ -mo ( $b_i, b_{i+1}, \dots, b_m$ ) è la stessa in quanto tutti i giunti sono bloccati tranne  $J_i$ :

$$\omega_{i-1,m} = \omega_{0,m} = z_{i-1} \dot{\theta}_i = z_{i-1} \dot{q}_i \quad (\text{perché } q_i' = \theta_i')$$

La velocità angolare di  ${}^mS$  rispetto ad  ${}^{i-1}S$  e di  ${}^mS$  rispetto ad  ${}^0S$  è la stessa perché  ${}^{i-1}S$  ed  ${}^0S$  sono coincidenti in quanto i giunti a monte di  $J_i$  sono anch'essi bloccati.

Visto che il contributo elementare alla  ${}^0\omega_{0,m}$  è  $J_{W_i}(q) \dot{q}_i$  ed in questo caso è pari a  ${}^0z_{i-1} \dot{q}_i \Rightarrow$

$\Rightarrow |J_{w_i}(q) = {}^0z_{i-1}|$  Lo stesso discorso si può fare per le velocità lineari: il braccio terminale si muove alla stessa velocità sia rispetto al riferimento  $S$  sia rispetto ad  $i-1$   $S$  perché tali riferimenti sono solidali in quanto i giunti a monte di  $J_i$  sono tutti bloccati:

$$\omega_{i-1,m} = \omega_{o,m} \\
 \dot{\pi}_{o,m} = \dot{\pi}_{i-1,m} = \omega_{i-1,m} \times \pi_{i-1,m} = \omega_{o,m} \times \pi_{i-1,m} \Rightarrow$$

Esprimiamo questa identità vettoriale in coordinate  $S$

$$\Rightarrow {}^0\dot{\pi}_{o,m} = [{}^0\omega_{o,m} \times] \pi_{i-1,m} = [{}^0z_{i-1} \times] \pi_{i-1,m} \dot{q}_i$$

$${}^0\omega_{o,m} = {}^0z_{i-1} \dot{q}_i = {}^0z_{i-1} \dot{q}_i$$

Visto che il contributo elementare alla  ${}^0\dot{\pi}_{o,m}$  è  $J_{p_i}(q) \dot{q}_i$  ed in questo caso è pari a  $[{}^0z_{i-1} \times] \pi_{i-1,m} \dot{q}_i \Rightarrow$

$$\Rightarrow J_{p_i}(q) = [{}^0z_{i-1} \times] \pi_{i-1,m}$$

Quindi, nel caso in cui il giunto  $J_i$  sia di tipo rotazionale (o a cerniera), la colonna  $i$ -ma della matrice Jacobiana geometrica è formata dai seguenti due sotto-blocchi:

$$\begin{cases} J_{p_i}(q) = [{}^0z_{i-1} \times] \pi_{i-1,m} \\ J_{w_i}(q) = {}^0z_{i-1} \end{cases} \text{ con } J(q) = \begin{bmatrix} \vdots & \dots & \boxed{J_{p_i}(q)} & \dots & \vdots \\ \vdots & \dots & \boxed{J_{w_i}(q)} & \dots & \vdots \end{bmatrix}$$

Nel caso in cui  $q_i = d_i$  (giunto prismatico  $\rightarrow$  è anche  $z_{i-1}$  è anche di traslazione del giunto  $J_i$ )  $\Rightarrow$  il contributo alle velocità angolare di tale giunto è nullo mentre il contributo alle traslazioni è diretto secondo l'asse  ${}^0z_{i-1}$ :

$${}^0\dot{\pi}_{o,m} = {}^0z_{i-1} \dot{d}_i = {}^0z_{i-1} \dot{q}_i = J_{p_i}(q_i) \dot{q}_i \Rightarrow J_{p_i}(q) = {}^0z_{i-1}$$

Quindi nel caso in cui il giunto  $J_i$  sia prismatico, la colonna  $i$ -ma della matrice Jacobiana geometrica è formata dai seguenti sotto-blocchi:

$$\begin{cases} J_{p_i}(q) = {}^0z_{i-1} \\ J_{w_i}(q) = 0 \end{cases} \text{ con } J(q) = \begin{bmatrix} \vdots & \dots & \boxed{J_{p_i}(q)} & \dots & \vdots \\ \vdots & \dots & \boxed{J_{w_i}(q)} & \dots & \vdots \end{bmatrix}$$

$i$ -ma colonna  $\uparrow$

ser  
Ter  
5

Bisogna quindi calcolare le coordinate dei vettori  $z_{i-1}$  ed  $\pi_{i-1,m}$  espresse nel riferimento  $^0S$  cioè  $^0z_{i-1}$  ed  $^0\pi_{i-1,m}$ .  
Le coordinate  $^0z_{i-1}$  sono facili da calcolare a partire da:

W

$${}^0T_{i-1}(q) = \left[ \begin{array}{ccc|c} {}^0R_{i-1}(q) & {}^0\pi_{0,i-1} & & \\ \hline 0 & 0 & 0 & 1 \end{array} \right] \text{ con } {}^0R_{i-1}(q) = \begin{bmatrix} x_{i-1} & y_{i-1} & z_{i-1} \end{bmatrix}$$

o

cioè si può ottenere prendendo l'ultima componente (colonna) della matrice di rotazione contenuta all'interno della matrice di rototraslazione. oss:  $J_{\omega_i}(q)$  è una funzione  $J_{\omega_i}(q_1, q_2, \dots, q_{i-1})$  cioè sono solo i giunti a monte di  $J_i$  a concorrere per la determinazione dell'orientamento dell'asse  $z_{i-1}$ . Questo non è vero per  $J_{p_i}(q)$  in quanto la velocità lineare dell'organo terminante varia a seconda dell'estensione del componente a valle del giunto  $J_i$ : cioè il vettore  $\pi_{i-1,m}$  è più o meno lungo a seconda della configurazione di  $q_{i+1}, \dots, q_m$ . Il termine  ${}^0\pi_{i-1,m}$  sta bilisce nelle coordinate di  $^0S$  la posizione dell'organo terminale rispetto ad  $O_{i-1} \Rightarrow$  la velocità  ${}^0\dot{\pi}_{i-1,m}$  è diversa a seconda che il braccio sia esteso o reclinato  $\Rightarrow J_{p_i}(q)$  dipende dalla configurazione di tutti i giunti  $J_1, \dots, J_m \Rightarrow \Rightarrow q_1, \dots, q_m$ .

e

me

$${}^{i-1}T_m(q) = \left[ \begin{array}{ccc|c} {}^{i-1}R_m(q) & {}^{i-1}\pi_{i-1,m} & & \\ \hline 0 & 0 & 0 & 1 \end{array} \right] \rightarrow {}^{i-1}\pi_{i-1,m}(q) \text{ nelle coordinate } {}^{i-1}S$$

-1  
le  
alle

Per avere  $\pi_{i-1,m}$  nelle coordinate  $^0S$  devo moltiplicare per la matrice di rotazione:

UTILIZZIAMO ANCOR  
LE COORDINATE  ${}^{i-1}S$ :

$${}^0\pi_{i-1,m}(q) = {}^0R_{i-1}(q) {}^{i-1}\pi_{i-1,m}(q)$$

-1

$${}^{i-1}\dot{\pi}_{i-1,m} = {}^{i-1}\omega_{i-1,m} \times {}^{i-1}\pi_{i-1,m} = \left( \begin{pmatrix} 0 \\ 0 \\ 1 \end{pmatrix} \times {}^{i-1}\pi_{i-1,m} \right) \dot{q}_i$$

me

$${}^{i-1}\omega_{i-1,m} = {}^{i-1}z_{i-1} \dot{\theta}_i = {}^{i-1}z_{i-1} \dot{q}_i$$

si

Asse  $z_{i-1}$  nelle coordinate  ${}^{i-1}S$ .  
Si esprime ancora in  ${}^{i-1}S$  perché come si può vedere è facile fare i prodotti vettoriali in quanto il vettore  $z_{i-1}$  nelle coordinate  ${}^{i-1}S$  è espresso facilmente:

$$\begin{pmatrix} 0 \\ 0 \\ 1 \end{pmatrix} \times \begin{pmatrix} x \\ y \\ z \end{pmatrix} = \begin{pmatrix} y \\ -x \\ 0 \end{pmatrix}$$

$$\text{facilmente in } {}^0S: {}^0\dot{\pi}_{i-1,m} = {}^0R_{i-1}(q) {}^{i-1}\dot{\pi}_{i-1,m}(q)$$



Un altro possibile modo per calcolare  $\pi_{i-1,m}$  è di considerare le due matrici di rotazione (o meglio le ultime colonne di tali matrici):

$$\begin{matrix} T_m(q) & \rightarrow & \pi_{0,m} \\ T_{i-1}(q) & \rightarrow & \pi_{0,i-1} \end{matrix} \quad \Rightarrow \quad \pi_{i-1,m} = \pi_{0,m} - \pi_{0,i-1}$$

Quindi, le informazioni contenute nelle matrici cinematiche di rotazione sono sufficienti per costruire la matrice Jacobiana geometrica che esprime un legame lineare tra le velocità di giunto e quelle cartesiane. Lo Jacobiano algebrico è invece più difficile da calcolare. Il legame che intercorre tra Jacobiano algebrico (o analitico) e quello geometrico è:

$$J(q) = \begin{bmatrix} I & 0 \\ 0 & G(\tilde{\varphi}) \end{bmatrix} J_K(q)$$

Lo Jacobiano geometrico è sempre, perché a partire da una certa configurazione  $q$  è sempre possibile calcolare  $J_K(q)$  e quindi  $J(q)$  mentre non è sempre possibile fare il ragionamento inverso. Apparentemente  $J_K(q)$  sembra essere per comodità di similitudine di rappresentazione derivata dall'intensione della matrice  $G(\varphi) \Rightarrow$  ci sono modelli

con  $J_K(q) = \frac{\partial K(q)}{\partial q}$ ;  $p = K(q)$

velocità di giunto cioè che poniamo al posto delle velocità cartesiane che non sono rappresentabili mediante derivate degli angoli di Eulero. Ciò che avviene quando ci avviciniamo ai punti di singolarità di rappresentazione è che  $|G^{-1}| \rightarrow \infty$ , ciò significa che  $|J_K| \rightarrow \infty$  e  $|G| \rightarrow 0 \Rightarrow$  il loro prodotto  $(\infty \cdot 0)$  continua ad essere finito  $\Rightarrow J(q)$  è limitato e non ci sono pb nella rappresentazione dell'orientamento e della velocità di rotazione mediante velocità angolari.

$$G(\tilde{\varphi}) = \begin{bmatrix} 0 & c\varphi & s\varphi s\theta \\ 0 & s\varphi & -c\varphi s\theta \\ 1 & 0 & c\theta \end{bmatrix}$$

Nonostante delle colonne tenano ad allinearsi in prima fila dei punti di singolarità,

$J(q)$  è sempre limitato perché la singolarità non è geometrica (derivante da limitazioni strutturali del robot), ma è una singolarità di rappresentazione  $\Rightarrow J(q)$  non cade

ma di rango perché il prodotto  $0 \cdot \infty$  è cmq limitato. Si può capire meglio cosa sia una singolarità di rappresentazione, cambiando la matrice  $G(\tilde{\psi})$  con una matrice  $S(\Theta)$  che lega la velocità angolare alle derivate degli angoli di Roll-Pitch-Yaw che esprimono la velocità di rotazione del corpo:

$$J(q) = \left[ \begin{array}{c|c} I & 0 \\ \hline 0 & S(\Theta) \end{array} \right] J_{K,\pi}(q)$$

In questo caso infatti si riferiamo alle singolarità di rappresentazione in altri punti rispetto a quelle che avevamo precedentemente. Per avere delle singolarità vere, cioè strutturali  $\Rightarrow$  si devono imporre velocità proibite dalla geometria del robot che provocano una caduta del rango della matrice  $J(q)$ . Queste singolarità strutturali sono il risultato della scelta del tipo di rappresentazione.

OSS: Le gattocche per  $|G| \rightarrow 0$  e  $J(q)$  non è cmq limitato  $\Rightarrow |J_K(q)| \rightarrow \infty \Rightarrow$  lo Jacobiano algebrico "può esplodere" cioè avere termini  $\rightarrow \infty$  in corrispondenza dei punti di singolarità di rappresentazione.

Considerando ora gli schemi usati per la risoluzione della cinematica inversa con lo Jacobiano Trasposto oppure inverso ( $J^T$  oppure  $J^{-1}$ ), potranno essere modificati in modo da ricavarsi tali Jacobiani direttamente dallo Jacobiano geometrico (invece di doverli derivare dalle eq. cinematiche):

Lo schema a blocchi è lo stesso (non cambia nulla). In alternativa si può realizzare lo schema inserendo direttamente  $J(q)$  cioè lo Jacobiano geometrico.

$$J_K(q) = \left[ \begin{array}{c|c} I & 0 \\ \hline 0 & G^{-1}(\tilde{\psi}) \end{array} \right] J(q) \quad \text{con} \quad \begin{bmatrix} {}^0\dot{x}_{om} \\ \tilde{\psi} \end{bmatrix} = \begin{bmatrix} K_p(q) \\ K_o(q) \end{bmatrix}$$

Una terza interpretazione dell'algoritmo dello Jacobiano inverso  $J_K^{-1}(q)$  è quella di soluzione al pb del minimo di una funzione:  $V(q) = ({}^0p_d - K(q))^T ({}^0p_d - K(q)) \Rightarrow$  si cerca una legge di aggiornamento  $\dot{q}$  tale da risolvere il pb del minimo con  $\dot{q} = f(q, {}^0p_d)$ .

Derivando la  $V(q)$  otteniamo la seguente espressione per  $\dot{V}(q)$ :

$$\dot{V}(q) = -2 ({}^0p_d - K(q))^T \frac{\partial K}{\partial q} \dot{q} \Rightarrow$$

Questa espressione ci ha suggerito 2 leggi di aggiornamento

mamente possibile:  $\left\{ \begin{array}{l} \dot{q} = \uparrow \left( \frac{\partial K}{\partial q} \right)^{-1} (\dot{p}_D - K(q)) \\ \dot{q} = \downarrow \left( \frac{\partial K}{\partial q} \right)^{-1} (\dot{p}_D - K(q)) \end{array} \right. \left| \begin{array}{l} \text{Il coefficiente} \\ \beta > 0 \text{ non serve} \\ \text{per scalatura} \\ \text{della soluzione} \end{array} \right.$

Entrambe queste leggi danno luogo ad una  $\dot{V}(q) < 0$  definita negativa (o al massimo semidefinita positiva se ci sono cadute di rango)  $\Rightarrow$  fanno convergere l'algoritmo all'ottimo. Il  $\beta$  che si aggiunge serve per scalare la velocità di movimento lungo la direzione trovata. Sposto al posto dello scalare  $\beta > 0$ , si mette una matrice simmetrica e definita positiva:  $K = K^T > 0$ :  $\dot{q}(t) = K^{-1} J_K^T(q) (\dot{p}_D - K(q))$

In tal caso la  $\dot{V}(q)$  continua ad essere (semi) definita positiva:

$$J_K^T(q) \rightarrow \dot{V}(q) = -2 (\dot{p}_D - K(q))^T J_K(q) K^{-1} J_K^T(q) (\dot{p}_D - K(q))$$

In pratica  $K = K^T > 0$  e  $J_K(q)$  è una matrice a rango pieno  $\Rightarrow$  la matrice evidenziata è ancora simmetrica e (semi) definita positiva  $\Rightarrow \dot{V}(q)$  continua ad essere  $\leq 0$ .

Una possibilità più generale per scrivere la  $\dot{V}(q)$  è la seguente

$$\dot{V}(q) = (\dot{p}_D - K(q))^T K (\dot{p}_D - K(q)) \Rightarrow$$

$$\Rightarrow \dot{V}(q) = -2 (\dot{p}_D - K(q))^T K \left( \frac{\partial K}{\partial q} \right)^{-1} \dot{q} \quad \left| \begin{array}{l} \text{che ci suggerisce 2} \\ \text{leggi di aggiornamento} \end{array} \right.$$

$$\left\{ \begin{array}{l} \dot{q} = \left( \frac{\partial K}{\partial q} \right)^T K (\dot{p}_D - K(q)) \\ \dot{q} = \left( \frac{\partial K}{\partial q} \right)^{-1} K (\dot{p}_D - K(q)) \end{array} \right. \quad \begin{array}{l} \text{Componenti rispettivamente} \\ \text{all'uso dello Jacobiano trasposto} \\ \text{e di quello inverso.} \end{array}$$

$$J_K^T(q) \rightarrow \dot{V}(q) = -2 (\dot{p}_D - K(q))^T K J_K(q) J_K^T(q) K (\dot{p}_D - K(q))$$

Ancora una volta la matrice è (semi) definita  $> 0 \Rightarrow \dot{V}(q) \leq 0$ . Inoltre questa scelta della  $\dot{V}(q)$  ci permette di avere una  $\dot{V}(q) \leq 0$  anche nel caso in cui scegliamo la legge di aggiornamento che fa uso dello Jacobiano inverso:

$$J_K^{-1}(q) \rightarrow \dot{V}(q) = -2 (\dot{p}_D - K(q))^T K^2 (\dot{p}_D - K(q))$$

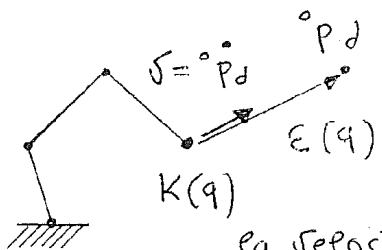
Anche nella  $\dot{V}(q)$  relativa all'algoritmo dello Jacobiano inverso la matrice  $K^2$  è (semi) definita positiva  $\Rightarrow \dot{V}(q) \leq 0$ . Quindi la terza interpretazione dell'algoritmo dello Jacobiano inverso ( $J_K^{-1}(q)$ ) di cui si parla nella SS nella

ante se l'una di esse è lasciata precedente è la seguente: data la legge di aggiornamento basata sullo Jacobiano algebrico inverso:

$$\dot{q} = J_K^{-1}(q) K (\overset{\circ}{p}_d - K(q))$$

se  $\overset{\circ}{p}_d$  sta ad indicare la posizione desiderata espressa in coordinate cartesiane del sistema di riferimento  $\overset{\circ}{S}$ , mentre  $K(q)$  è la posizione attuale (trasformazione cinematica delle variabili di giunto  $q$ )  $\Rightarrow$  la differenza  $\overset{\circ}{p}_d - K(q)$  è interpretabile come è errore in una certa configurazione  $\varepsilon(q)$ :

$$\varepsilon(q) = \overset{\circ}{p}_d - K(q)$$



è obiettivo è quello di portare l'errore  $\varepsilon(q)$  a zero imponendo una velocità dei giunti  $q$  che dia luogo ad una velocità cartesiana desiderata  $v = \overset{\circ}{p}_d$  con direzione dell'errore  $\varepsilon(q)$ , cioè tale che:

$$\overset{\circ}{p}_d = \beta \varepsilon = \beta (\overset{\circ}{p}_d - K(q))$$

Se  $J_K^{-1}(q) \exists$ , la velocità di giunto che realizza tale velocità cartesiana è

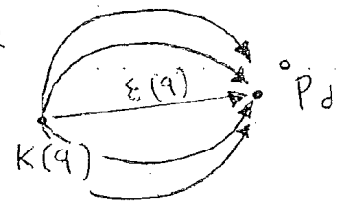
$$\dot{q} = J_K^{-1}(q) \overset{\circ}{p}_d = J_K^{-1}(q) \beta \varepsilon = \beta J_K^{-1}(q) (\overset{\circ}{p}_d - K(q))$$

oppure con la  $K$ :

$$\dot{q} = J_K^{-1}(q) K (\overset{\circ}{p}_d - K(q))$$

OSS: Il fatto che al posto di  $\beta > 0$  scalare cioè una matrice  $K$  sim-

metrica e definita positiva non garantisce che la velocità cartesiana abbia la direzione dell'errore  $\varepsilon(q)$ , ma fa comunque in modo che la traiettoria sia prossima a quella rettilinea (traiettorie in rosso nel disegno a dx).



Ciò per realizzare  $\overset{\circ}{p}_d = K(q)$  non è strettamente necessario  $\beta > 0$  scalare ma si deve avere  $K = K^T > 0$ . Se chiamo l'errore  $\varepsilon(q) = \overset{\circ}{p}_d - K(q) \Rightarrow$

$$\Rightarrow \dot{\varepsilon}(q) = \overset{\circ}{\dot{p}_d} - \frac{\partial K}{\partial q} \dot{q} = -J_K(q) \dot{q} = -J_K(q) J_K^{-1}(q) K \varepsilon \Rightarrow$$

$\overset{\circ}{p}_d = \text{cost.}$  perché la posizione desiderata è fissa (non una traiettoria)

$$\begin{cases} \dot{q}(t) = J_K^{-1}(q) K \varepsilon \\ \varepsilon(q) = \overset{\circ}{p}_d - K(q) \end{cases}$$

$\Rightarrow \dot{\varepsilon}(q) = -K \varepsilon(q)$  L'errore  $\varepsilon(q)$  evolve come lo stato di un sistema lineare stazionario con costante di

tempo definita dagli autovalori della  $K > 0 \Rightarrow -K < 0 \Rightarrow$  ha autovalori negativi  $\Rightarrow$  la dinamica è asintoticamente stabile:

$$\varepsilon(t) = e^{-Kt} \varepsilon(0)$$

evoluzione asintoticamente stabile. Non riesce a dimostrare l'equazione dinamica per  $J_K^T(q)$

$$\varepsilon = \dot{p} - K(q) \Rightarrow \dot{\varepsilon}(q) = -J_K(q) \dot{q} \text{ con } \dot{q} = J_K^T K \varepsilon \Rightarrow$$

$$\Rightarrow \dot{\varepsilon}(t) = -J_K(q) J_K^T(q) K \varepsilon(q) \text{ con } q = q(t) \text{ Sistema Tempo Variante}$$

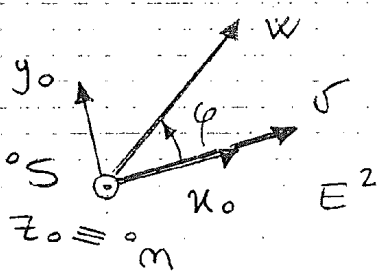
$\Rightarrow$  è analisi della convergenza non è semplice come quella fatta precedentemente in quanto la dinamica non lineare non viene cancellata  $\Rightarrow$  è necessario effettuare l'analisi con il criterio di Lyapunov.

OSS: La limitazione dell'algoritmo che sfrutta  $J_K^{-1}(q)$  è che è ristretto ai robot non ridondanti (quadrati) e che per ora è stato applicato solo allo Jacobiano analitico e non a quello geometrico.

OSS: I percorsi più vantaggiosi non sempre sono quelli più brevi (speso) da priorità ai percorsi che privilegiano il movimento dei bracci più leggeri e tengono fermi il più possibile quelli più pesanti. Nella realizzazione di un percorso non si pensa mai ad una rappresentazione minima. Si utilizza lo Jacobiano geometrico per realizzare l'algoritmo dello Jacobiano inverso per la soluzione del pb cinematico inverso. Per poter fare questo, bisogna tener presente la seguente:

OSS: Una matrice di rotazione  ${}^oR_1$  è rappresentativa di una rotazione che per il Teorema di Eulero si può effettuare in un solo passo ruotando il corpo di un angolo di Eulero  $\varphi$  attorno all'asse di Eulero  ${}^om$  (espresso nelle coordinate di  ${}^oS$ ):

cioè risulta:  ${}^oR_1 = R({}^om, \varphi)$



asse di Eulero in  ${}^oS$  ← | → nel piano  
 angolo di Eulero ← | →

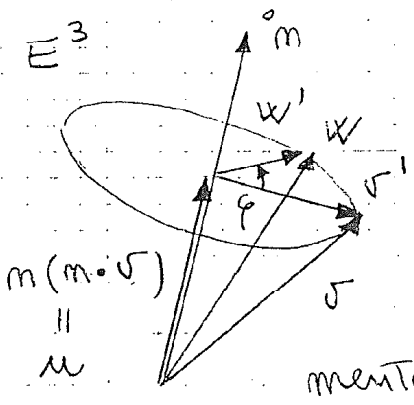
La rotazione di  $v$  si può esprimere in  $E^2$

$$w = R_z(\varphi) v = v \cos(\varphi) + (z_0^m \times v) \sin \varphi$$

Andiamo a ricavare ora l'operatore che opera una rotazione attorno all'asse di Eulero  $m$  del vettore  $v$  di un angolo  $\varphi$  (angolo di Eulero). La componente lungo  $m$  non viene ruotata:

$$u = m(m \cdot v) \text{ e } w = R(m, \varphi) v$$

mentre la componente  $\perp$  ad  $m$  viene ruotata:



$v' = v - \mu = v - m(m \cdot v)$  mentre il vettore ruotato  $w$ :

$w = \mu + w' = m(m \cdot v) + v' \cos \varphi + \underbrace{(m \times v')}_{\text{dim}(\varphi)} \Rightarrow$

In fatti si può dimostrare:  $\leftarrow \rightarrow = (m \times v)$

$(m \times v') = m \times (v - m(m \cdot v)) = m \times v - \cancel{(m \times m)}(m \cdot v) = m \times v$

$\Rightarrow w = m(m \cdot v) + (v - m(m \cdot v)) \cos \varphi + (m \times v) \sin \varphi = R(m, \varphi) v$

Quella scritta è una relazione in  $E^3$  tra vettori: se esprimiamo tutto nelle coordinate di  $^o S \Rightarrow$  passeremo in  $\mathbb{R}^3$ :

${}^o w = \underbrace{{}^o m {}^o m^T} \underbrace{{}^o v} + I \cos \varphi \underbrace{{}^o v} - \cos \varphi \underbrace{{}^o m {}^o m^T} \underbrace{{}^o v} + \sin \varphi \underbrace{[{}^o m \times]} \underbrace{{}^o v} \Rightarrow$

prodotto scalare prodotto vettoriale

$\Rightarrow {}^o w = \left( \underbrace{{}^o m {}^o m^T} + (I - {}^o m {}^o m^T) \cos \varphi + [{}^o m \times] \sin \varphi \right) \cdot {}^o v \Rightarrow$

matrice: colonna x riga  $\rightarrow$  rango unitario.

$\Rightarrow {}^o w = {}^o R_1 \cdot {}^o v \Rightarrow$  possiamo così ricavare la matrice rappresentativa dell'operazione di rotazione (o del cambio di coordinate):

$\oplus \quad \boxed{{}^o R_1({}^o m, \varphi) = ({}^o m {}^o m^T + (I - {}^o m {}^o m^T) \cos \varphi + [{}^o m \times] \sin \varphi)}$

Se  $\varphi = 0 \Rightarrow {}^o R_1({}^o m, \varphi) = I \Rightarrow$  non c'è trasformazione.

RIC:  
 ${}^o m = \begin{bmatrix} {}^o m_x \\ {}^o m_y \\ {}^o m_z \end{bmatrix}; \quad {}^o m {}^o m^T = \begin{bmatrix} {}^o m_x^2 & {}^o m_x {}^o m_y & {}^o m_x {}^o m_z \\ {}^o m_x {}^o m_y & {}^o m_y^2 & {}^o m_y {}^o m_z \\ {}^o m_x {}^o m_z & {}^o m_y {}^o m_z & {}^o m_z^2 \end{bmatrix}; \quad [{}^o m \times] = \begin{bmatrix} 0 & -{}^o m_z & {}^o m_y \\ {}^o m_z & 0 & -{}^o m_x \\ -{}^o m_y & {}^o m_x & 0 \end{bmatrix}$

${}^o R_1 = \begin{bmatrix} c\varphi + m_x^2(1-c\varphi) & m_x m_y(1-c\varphi) - m_z s\varphi & m_x m_z(1-c\varphi) + m_y s\varphi \\ m_x m_y(1-c\varphi) + m_z s\varphi & c\varphi + m_y^2(1-c\varphi) & m_y m_z(1-c\varphi) - m_x s\varphi \\ m_x m_z(1-c\varphi) - m_y s\varphi & m_y m_z(1-c\varphi) + m_x s\varphi & c\varphi + m_z^2(1-c\varphi) \end{bmatrix}$

la cosa interessante è risolvere il pb inverso, cioè data la matrice rappresentativa della rotazione, trovare  $\varphi$  e anche l'angolo di Eulero.  $\exists$  un metodo che prescinde da questa rappresentazione. Data infatti una  ${}^o R_1$ , grazie alle proprietà di ortogonalità di cui gode risulta avere:

$\lambda_1 = 1, \lambda_2 = \lambda_3^* = e^{-j\varphi}$  con  $e^{j\varphi} = \cos \varphi + j \sin \varphi$

$|{}^o R_1| = \lambda_1 \lambda_2 \lambda_3 = 1 = 1 \cdot e^{j\varphi} e^{-j\varphi}$  con  $\varphi < \pi$

L'asse di Eulero è l'autovettore relativo all'autovalore  $\lambda_1 = 1$

di modulo unitario in quanto è asse di cuiro e quxx unie  
 vettore che una volta trasformato rimane invariato:

${}^o m = {}^o R_1 {}^o m$  (cioè quello per cui  $Au = \lambda u$  con  $\lambda = 1$  ed  $u$   
 autovettore relativo all'autovalore  $\lambda = 1$  della matrice  $A$ ).

OSS: La stessa notazione può essere rappresentata da due  
 angoli con verso opposto attorno ad uno stesso asse, a seconda  
 dell'orientamento dell'asse stesso, cioè una notazione  
 di un angolo  $\varphi$  attorno ad un asse  ${}^o m$  è equivalente ad una  
 notazione di un angolo  $-\varphi$  attorno all'asse  $-{}^o m$ :

${}^o m, \varphi \rightarrow -{}^o m, -\varphi$  questo è il motivo per cui possono sempre  
 considerare un angolo  $\varphi \in [0, \pi)$  che  
 può essere calcolato a partire dagli autovalori  $\lambda_2$  e  $\lambda_3$ .  
 Oppure si può considerare come  ${}^o m$  la parte antisimmetrica  
 di  ${}^o R_1$ , cioè:  $S = {}^o R_1 - {}^o R_1^T = ([{}^o m_x] - [{}^o m_x]^T) \sin \varphi =$   
 $= 2 [{}^o m_x] \sin \varphi \Rightarrow$  Applicando la relazione  
 $\Rightarrow [{}^o m_x] = \frac{({}^o R_1 - {}^o R_1^T)}{2 \sin \varphi}$  della facciata precedente  
 Ma lo cmq bisogno di conoscere  
 il valore di  $\sin \varphi$  tenendo conto:

OSS: Data una matrice  $A$  con poli modulo caratteristico:  
 $\det(\lambda I - A) = \lambda^m + a_{m-1} \lambda^{m-1} + \dots + a_1 \lambda + a_0 = (\lambda - \lambda_1)(\lambda - \lambda_2) \dots$   
 $(\lambda - \lambda_m) \Rightarrow$  allora risulta che:

$$\text{Tr}(A) = \lambda_1 + \lambda_2 + \dots + \lambda_m = a_{11} + a_{22} + \dots + a_{mm} = -a_{m-1}$$

$$\det(A) = a_0$$

Qui m di data la matrice  ${}^o R_1 \rightarrow \text{Tr}({}^o R_1) = \pi_{11} + \pi_{22} + \pi_{33}$   
 Sappiamo inoltre che:

$$\text{Tr}({}^o R_1) = 1 + e^{j\varphi} + e^{-j\varphi} = 1 + \cos \varphi + j \sin \varphi + \cos \varphi - j \sin \varphi$$

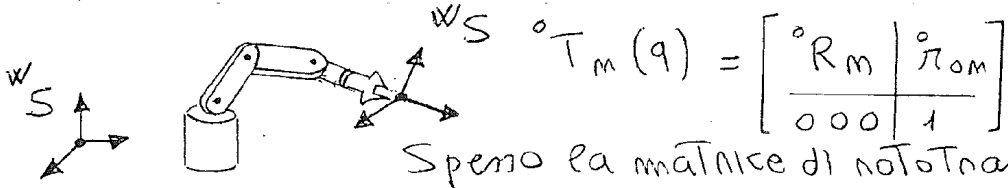
$$= 1 + 2 \cos \varphi \Rightarrow \cos(\varphi) = \frac{\text{Tr}({}^o R_1) - 1}{2} \text{ con } \varphi \in (0, \pi)$$

$$\Rightarrow \sin(\varphi) = + \sqrt{1 - \cos^2(\varphi)}$$

Prendendo la soluzione positiva  
 perché consideriamo  $\varphi$  tra  
 0 e  $\pi$ .

Si Alcondi inoltre che:  
 ${}^o m_x^2 + {}^o m_y^2 + {}^o m_z^2 = 1$ . Completiamo la cinematica inversa  
 costruendo la Jacobiano geometrico, angoli ed asse di Euler

nic a partire dalla conoscenza dei parametri geometrici del robot. Infatti conoscendo i parametri di Denavit-Hartenberg, si può calcolare la matrice di trasformazione:



$${}^W S T_m(q) = \begin{bmatrix} {}^o R_m & | & {}^o \pi_{om} \\ \hline 0 & 0 & 0 & | & 1 \end{bmatrix}$$

Spesso la matrice di trasformazione completa comprende anche i rigonimenti  ${}^W S$  ( $w_{oned}$ ) ed  ${}^T S$  ( $t_{oee}$ ):

$${}^W T_T(q) = {}^W T_o T_m(q) {}^m T_T = \begin{bmatrix} {}^W R_T(q) & | & {}^W \pi_{w,T} \\ \hline 0 & 0 & 0 & | & 1 \end{bmatrix}$$

Com  ${}^W S$  solidale ad  ${}^o S$  ed  ${}^T S$  solidale ad  ${}^m S \Rightarrow$  le matrici di trasformazione  ${}^W T_o$  e  ${}^m T_T$  sono costanti. La matrice Jacobiana geometrica che esprime il legame tra  $\dot{q}$  ed il vettore delle velocità generalizzate che giuona è stato scritto:

$$\underline{{}^o v_{o,m}} = \begin{bmatrix} {}^o \dot{\pi}_{om} \\ {}^o w_{om} \end{bmatrix} = J(q) \dot{q} \quad (\dot{q} \rightarrow {}^o v_{o,m})$$

nel caso in cui consideri denomi anche i sistemi di rigonimento  ${}^W S$  ed  ${}^T S$

te dovrebbe essere scritto considerando la nuova velocità generalizzata. Tuttavia noi continueremo a considerare la  ${}^o T_m(q)$

o: perché considerando anche  ${}^W S$  ed  ${}^T S$  non aggiungiamo niente di nuovo alla trattazione. Inizialmente abbiamo visto è algo ritmo per la risoluzione del pb cinematico in senso che fa uso dello Jacobiano algebrico:

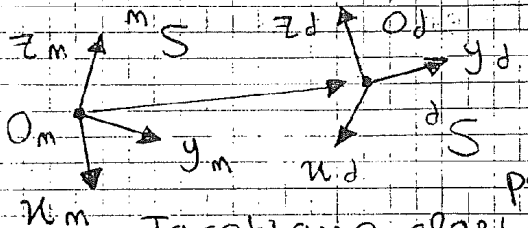
$$\text{Bisogna notare però che } \begin{bmatrix} {}^o \pi_{om} \\ \tilde{\psi} \end{bmatrix} = \begin{bmatrix} K_p(q) \\ K_o(q) \end{bmatrix} = \frac{\partial J_k}{\partial q}$$

1 Jacobiano geometrico  $J(q)$  è più semplice da calcolare perché non si devono calcolare esplicitamente le funzioni, ma si ricorre ad un algoritmo numerico (senza dover operare delle derivate). Studiamo allora il modo di realizzare un algoritmo per la cinematica inversa che faccia uso dello Jacobiano geometrico (direttamente). Sia  $m = \#$  assi del robot (DOF: degrees of freedom, gradi di libertà, dimensione dello spazio operativo) e sia  $n$  il numero di gradi di libertà relativi al compito da svolgere (se detto descrive un compito in  $E^3$  con tutti gli orientamenti possibili  $\rightarrow m=6$ ).

33 Si consideri prima il caso di robot NON RIDONDANTI cioè  $m = n \Rightarrow$  In tal caso se voglio ottenere una certa velocità generalizzata desiderata  ${}^o v_d$ , le velocità di giunto che



Si possono imporre come:  $\dot{q}_j = J_k^{-1}(q) \dot{v}_j$



Per portare la terza solidale con la mano del robot ( $S^m$ ) a coincidere con quella desiderata lo si può fare in modo possibile. La tecnica che fa uso dello

Jacobiano algebrico inverso  $J_k^{-1}(q)$  può essere interpretata nel seguente modo: se è un errore di posizionamento

impone una velocità cartesiane proporzionale alla direzione dell'errore stesso, cioè:

$\dot{v}_j = \beta (\text{errore di posizione nelle coordinate cartesiane})$   
 (Traiettonia minima)

Per una velocità di giunta da imporre è:  $\dot{q} = \beta J_k^{-1}(q) (\text{errore di posizione})$

Consideriamo in questo modo una traslazione lungo una traiettoria lineare (minima) da  $K(q)$  a  ${}^0P_j$ . In modo analogo, ricorrendo al Teorema di Eulero, si può procedere in questo modo anche per gli orientamenti, cioè si passa dall'orientamento corrente a quello desiderato mediante una

notazione dell'angolo di Eulero attorno all'asse di Eulero  $\Rightarrow$  per poter fare questo è necessario applicare l'algoritmo visto precedentemente che riassumiamo di seguito:

data una matrice di notazione  ${}^0R_1$ , essa rappresenta una notazione che può sempre essere espressa in termini di angolo ed asse di Eulero:  ${}^0R_1 = R = R(m, \varphi)$ . La traccia della matrice  $R$  è:

$$\text{Tr}(R) = 1 + e^{j\varphi} + e^{-j\varphi} = 1 + 2\cos\varphi \Rightarrow \boxed{\cos(\varphi) = \frac{\text{Tr}(R) - 1}{2}}$$

OSS: La traccia di una matrice  $R$  è invariante rispetto a trasformazioni di coordinate cioè:  $\text{Tr}(R) = \text{Tr}(TRT^{-1})$ . Inoltre è stato visto che:

Se  $R = {}^0R_1 = R(m, \varphi) \Rightarrow [m \times m] \sin\varphi = \frac{1}{2} ({}^0R_1 - {}^0R_1^T)$

Parte antisimmetrica della matrice di notazione  ${}^0R_1$

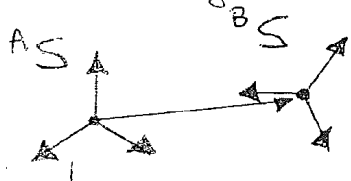
Il  $\sin\varphi$  si calcola a partire dal  $\cos\varphi$  che è stato già calcolato precedentemente, prendendo per convenzione

la soluzione positiva:

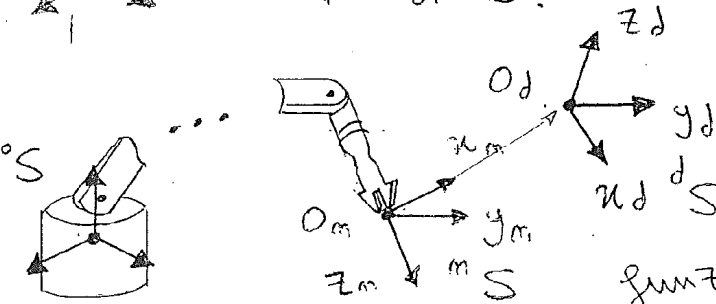
$$\cos \varphi = \frac{\text{Tr}(R) - 1}{2} \rightarrow \sin \varphi = \sqrt{1 - \cos^2 \varphi} \rightarrow [\dot{m} \times] = \frac{1}{2} \frac{{}^0 R_1 - {}^0 R_1^T}{\sin \varphi}$$

OSS: Se  $\varphi = 0 \Rightarrow R = I \Rightarrow \nexists$  notazione.

OSS: La convenzione di prendere sempre l'angolo  $\varphi > 0$ , deriva dal fatto che  $\nexists$  ambiguità tra angoli positivo e negativo perché  $R({}^m, \varphi) = R(-{}^m, \varphi)$ . Se conosco le coordinate dell'asse di Eulerio  ${}^m$  e l'angolo di Eulerio  $\varphi$ , posso imporre una velocità angolare  $\omega$  diretta come  ${}^m$  e con verso pari a quello di  $\varphi$  per portare  ${}^m S$  su  ${}^T S$ . Se ho due termini di riferimento  ${}^A S$  ed  ${}^B S$ , e l'algoritmo visto ci fornisce



allora la notazione minima, per portare  ${}^A S$  a coincidere con  ${}^B S$ , nelle coordinate di  ${}^A S$ .



Trasferendo il disco sulla mano del robot, i dati che si hanno a disposizione sono l'orientamento della mano in

funzione di  $q$  nelle coordinate di  ${}^0 S$  cioè la matrice di notazione  ${}^0 R_m(q)$  e l'orientamento desiderato  ${}^0 R_d$  nelle coordinate di  ${}^0 S$ . Il legame tra queste due matrici è la composizione:

$${}^0 R_d = {}^0 R_m(q) {}^m R_d$$

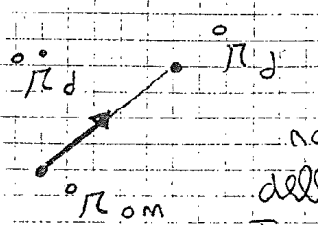
dove è mena in evidenza la composizione formale tra apice  $m$  e pedice  $m$ . La matrice  ${}^m R_d$  corrisponde alla matrice  ${}^A R_B$  dell'esempio precedente e serve ad esprimere le coordinate di  ${}^B S$  ( ${}^d S$ ) nel riferimento  ${}^T {}^A S$  ( ${}^m S$ ). Dalla relazione precedente si ricava:

$${}^m R_d = {}^0 R_m^T(q) {}^0 R_d$$

Applicando l'algoritmo, riusciamo quindi a calcolare l'asse di Eulerio espresso nelle coordinate  ${}^m S \Rightarrow$  cioè il vettore  ${}^m m$ . Se voglio conoscere nelle coordinate  ${}^0 S \Rightarrow {}^0 m = {}^0 R_m {}^m m$ . Mediante

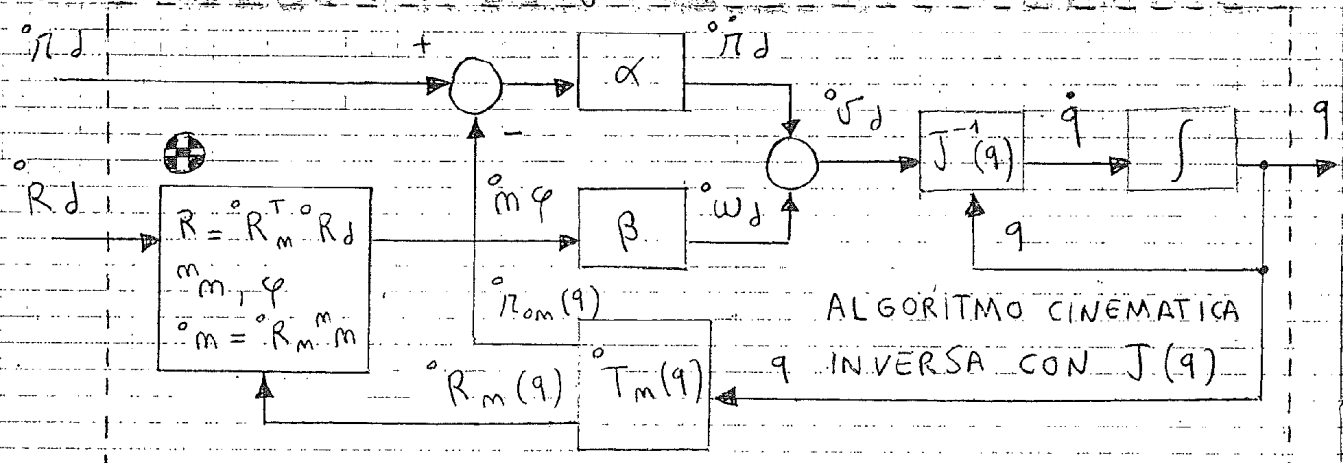
la formula  ${}^m R_d = {}^0 R_m^T(q) {}^0 R_d$  effettuiamo la differenza tra due orientamenti: se lavoriamo con gli angoli di Eulerio per rappresentare l'orientamento di differenza, allora mi dovrete effettuare la differenza tra gli angoli. Lavorando con la matrice di notazione, l'orientamento di differenza si rappresenta mediante opportune composizioni

Quindi d'algoritmo alle mani "m,  $\varphi$ " e in ambe espresi nelle coordinate locali  ${}^m S$  (cioè AS). Nella rappresentazione della Traslazione differenziale, si parla di differenza tra due vettori rappresentati di determinate posizioni:



Il vettore velocità desiderata  ${}^o \dot{\pi}_d$  che realizza il moto verso la posizione desiderata, ha direzione  ${}^o \dot{\pi}_d - \dot{\pi}_{om}$  pari a quella dell'errore di posizione.

Introduciamo l'algoritmo di cinematica inversa che fa uso dello Jacobiano geometrico  $J(q)$  direttamente:



OSS:  ${}^o \dot{v}_d = \begin{pmatrix} {}^o \dot{\pi}_d \\ {}^o \dot{\omega}_d \end{pmatrix}$  L'errore di orientamento  ${}^m \varphi$ , spesso viene indicato anche con  ${}^m \alpha$  o  ${}^m \varphi$  e indicata dall'algoritmo che nello schema a blocchi è contrassegnato da  $\oplus$ . L'errore di posizione invece è pari a  ${}^o \pi_d - \pi_{om}(q)$  e moltiplicato per lo scalare  $\alpha$  dà la velocità e incante desiderata  ${}^o \dot{\pi}_d$ . Possiamo quindi dire che la velocità generalizzata  ${}^o \dot{v}_d$  desiderata è proporzionale alla direzione tale di ridurre l'errore (ci si muove nella direzione in cui l'errore si riduce). L'algoritmo si blocca quando l'errore è zero cioè  ${}^o \dot{\pi}_d = 0$  ed  ${}^o R_m^T(q) {}^o R_d = I \Rightarrow {}^m R_d = I \Rightarrow \varphi = 0$ . La convergenza è esponenziale e dipende da  $\alpha, \beta$  (se usiamo lo Jacobiano inverso). Se utilizziamo invece lo Jacobiano Trasposto ( $J^T(q)$ ) la convergenza non è più esponenziale. Questo è uno dei modi di pensare nello spazio degli orientamenti. È altri possibili modi di rappresentare gli orientamenti, ad esempio con i quaternioni, per i quali  $\exists$  delle leggi di composizione

mi  
 m  
 n  
 s  
 an  
 analoghe per il calcolo dell'errore di orientamento. Se adesso  
 consideriamo un robot RIDONDANTE (cioè  $m > n$  ed il  
 numero di assi del robot è maggiore del numero di gradi di  
 libertà meccanici per specificare il compito che il robot deve ese-  
 guire), posso ancora applicare l'algoritmo visto a SX?

de  
 a  
 eno  
 che  
OSS 1: Se ho  $Ax = b$  con  $A$  quadrata e invertibile, per  
 calcolare  $x$  non conviene invertire  $A$  e calcolare  $x = A^{-1}b$   
 perché è altamente inefficiente. Ha senso operare  
 in questo modo se devo risolvere un gran numero di questi  
 problemi (tutti del tipo  $Ax = b$ ) cioè se devo risolvere il pb  
 $x_k = A^{-1}b_k$  con  $k = 1, 2, \dots, m$  ed  $m$  grande. Se però devo  
 risolvere uno solo non è efficiente calcolare  $A^{-1}$  ed è pre-  
 feribile ricorrere ad esempio alla diagonalizzazione.

i  
 9  
OSS 2: Se il robot è non ridondante, data una certa confi-  
 gurazione  $q$ ,  $\exists$  una soluzione unica al pb cinematico in-  
 verso e l'algoritmo convergerà a tale soluzione certamente.  
 Quindi il pb  $\dot{v}_d = J(q)\dot{q}$  con  $J(q)$  quadrato, ammette  
 un'unica soluzione  $\dot{q}$ .

beno  
 e  
 e  
 a  
 che  
 ab  
 la  
 a  
 Se il robot è ridondante  $\Rightarrow m > n$  e  $J(q)$  è una matrice  
 rettangolare bassa (ha più colonne che righe)  $\Rightarrow$  il pb da  
 risolvere è allora  $\dot{v}_d = [ \dots ] \dot{q} \Rightarrow$  è un sistema di  
 $n$  equazioni in  $m$  incognite (ho più incognite che equazioni)  
 $\Rightarrow$  ammette  $\infty^{m-n}$  soluzioni possibili. Una possibile soluzione  
 è quella dell'equazione omogenea associata che può essere  
 sommata alle soluzioni delle eq. non omogenee. Chia-  
 mando  $\tilde{q}$  la soluz. dell'eq. omogenea e  $\dot{q}^*$  quella dell'eq.  
 non omogenea risulta che:

$$\begin{aligned} \dot{q}^* &\rightarrow \dot{v}_d = J(q)\dot{q}^* && \text{con } \tilde{q} \in \mathcal{N}(J(q)) \\ \dot{q}^* + \tilde{q} &\rightarrow \dot{v}_d = J(q)(\dot{q}^* + \tilde{q}) && \text{cioè } \boxed{J(q)\tilde{q} = 0} \end{aligned}$$

I  
 e  
 con  
 me  
 con  $\tilde{q}$  indichiamo allora gli autovivimenti del robot, cioè  
 tutte quelle velocità di giunto che lasciano inalterata la posa  
 della mano in quanto producono una velocità generalizzata  
 nulla ( $\dot{v}_d = 0$ ). Risulta inoltre che:

$$\dim(\mathcal{N}(J(q))) = m - p(J(q)) \geq m - n$$

OSS: L'uguale vale in configurazioni non singolari del

robot. Nel caso in cui si è in una configurazione singolare, il rango di  $J(q)$  non è più  $m$  (si ha una caduta di rango ed  $m - p(J) \leq m - m$ ). Nel caso di robot ridondanti sorge il pb di scegliere una tra le tante soluzioni possibili (possibilmente la più conveniente). La soluzione che troveremo risolverà il pb di cinematica inversa differenziale:  $\dot{v}_d \rightarrow \dot{q}$  per il robot non ridondante e dovrà essere impleta nell'algoritmo per la soluzione della cinematica inversa ( $v_d, R_d \rightarrow q$ ) rappresentato nello schema a blocchi di 2 facciate prima, al posto della  $J^{-1}(q)$ . Per trovare la soluzione più conveniente tra le possibili, si può pensare di minimizzare un indice che dipende dalla velocità (per una data configurazione  $q$  fissa):  $\gamma_q(\dot{q}) \geq 0$ . Il pb diventa allora di trovare la soluzione della  $\dot{v}_d = J(q)\dot{q}$  tale da minimizzare l'indice definito  $\gamma_q(\dot{q})$  cioè:

$$\dot{q}^* = \underset{\dot{v}_d = J(q)\dot{q}}{\text{min}} \gamma_q(\dot{q}) \quad \text{pb di minimizzazione o di minimo simcolato} \rightarrow \text{criterio per risolvere nel pb di cinematica differenziale}$$

Inversa nel caso di robot ridondanti, data la configurazione  $q$ .

$$\text{OSS} : \gamma_q(\dot{q}) = \begin{cases} \|\dot{q}\|^2 \rightarrow \text{Min. norma della velocità} \\ \|\dot{q} - \dot{q}_0\|^2 \rightarrow \dot{q}_0 \text{ è una velocità di giunto che mi piacerebbe il robot avere.} \end{cases}$$

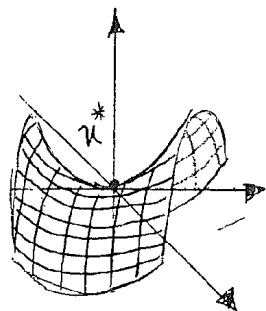
Questo è utile quando si vuole massimizzare un indice di manipolabilità  $\beta(q) = \det(J(q)J^T(q)) \rightarrow$  infatti se il determinante di  $J(q)J^T(q)$  è elevato sono tranquillo perché vuol dire che siamo lontani dai punti di singolarità, dove il determinante è nullo. È bene puntare il robot nelle condizioni di massima manipolabilità, muovendomi lungo la direzione di massima pendenza della funzione obiettivo:  $\dot{q}_0 = \alpha \frac{\partial \beta(q)}{\partial q} \rightarrow$  velocità obiettivo

Quindi adottando una  $\gamma_q(q) = \|\dot{q} - \dot{q}_0\|$  come obiettivo primario la realizzazione del simbolo:  $\dot{v}_d = J(q)\dot{q}$  è come obiettivo secondario quello di massimizzare la manipolabilità minimizzando  $\gamma_q(q) = \|\dot{q} - \dot{q}_0\|$  in modo che  $\dot{q} \rightarrow \dot{q}_0$ .

Nei caso di minimo non vincolato, si trova il punto stazionario  $x^*$  risolvendo, in forma chiusa o mediante un algoritmo numerico, il seguente sistema di equazioni:

$$\frac{\partial V}{\partial x} \Big|_{x^*} = 0$$

→  $x^*$  Anche il punto stazionario calcolato sia un punto di minimo, deve soddisfare la condizione  $\frac{\partial^2 V}{\partial x^2} \Big|_{x^*} > 0$  ⇒ cioè concavità dell' Hessiane.

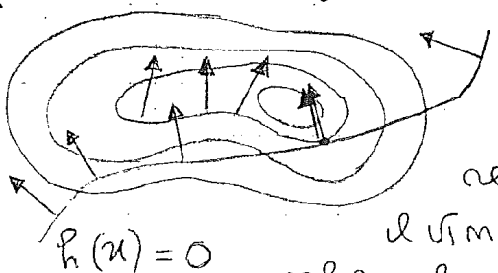


Se così non fosse il punto stazionario  $x^*$  potrebbe anche essere un punto di sella come indicato a sx. (Stazionarietà + concavità Hessiana ⇒ punti di minimo). Nel caso in cui si voglia risolvere un pb di minimo vincolato

$$\begin{matrix} \min V(x) \\ h(x) = 0 \end{matrix}$$

la situazione in  $\mathbb{R}^2$  è la seguente: se  $x \in \mathbb{R}^2$ , non

$\mathbb{R}^2$



Tutti i punti di  $\mathbb{R}^2$  sono ammissibili: cioè quelli appartenenti al luogo geometrico determinato da  $h(x) = 0$  (una retta, una circonferenza ...) soddisfanno il vincolo ed è tra questi punti che bisogna scegliere il minimo. Graficamente si intuisce che

bisogna considerare la curva di livello tangente al vincolo ⇒ è più bassa (sotto Hp di vincoli e curve di livello "basse" cioè che ammettono derivate). Si vede così che il gradiente del vincolo  $\partial h / \partial x$  (considerando la sola curva di livello a livello del mare cioè  $h(x) = 0$ ) deve avere la stessa direzione del gradiente di  $V(x)$  cioè di  $\partial V(x) / \partial x$  ⇒ si ha il minimo per

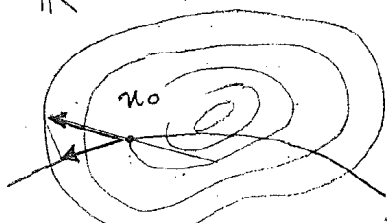
$$\frac{\partial h}{\partial x} \parallel \frac{\partial V}{\partial x}$$

CONDIZIONE DI MINIMO VINCOLATO IN  $\mathbb{R}^2$

OSS: In assenza di vincoli si aveva  $\frac{\partial V}{\partial x} = 0$

Algoritmicamente a partire da

un punto  $x_0$  si controlla se  $\frac{\partial h}{\partial x} \parallel \frac{\partial V}{\partial x}$ , ed in caso la condizione non è verificata ci si sposta lungo la direzione dell'antigradiente della curva di livello, proiettato sulle direzione del vincolo cioè lungo la direzione della curva di livello a livello zero di  $h(x)$ .



- GRADIENTE
- PROIEZIONE DEL GRADIENTE LUNGO  $h(x) = 0$

In questo modo si passa su curve di livello più piccole, rimanendo d  
 cima sul simcolo. Se voglio proiettare un vettore  $v$  lungo la  
 direzione di un vettore  $m$  :

$$\Pi(v|m) = (v \cdot m) m, \text{ se } m \text{ non è un vettore } \Pi(v|m) = \frac{(v \cdot m)m}{(m \cdot m)}$$

L'algoritmo di ricerca del minimo si ferma  
 quando il gradiente  $\partial V/\partial x$  è ortogonale al simcolo, in  
 tal caso risulta nulla la proiezione (ed è verificata la con-  
 dizione di minimo in quanto anche  $\partial h/\partial x$  è perpendicolare  
 al simcolo per cui  $\Rightarrow \partial V/\partial x \parallel \partial h/\partial x$ ). Nel caso di  $\mathbb{R}^m$  non  
 si può ricondurre ai gradienti ma si può generalizzare il risultato  
 ottenuto in  $\mathbb{R}^2$  ricorrendo alla condizione:

$$\left( \frac{\partial V}{\partial x} \right)_{x^*}^T \in R \left( \left( \frac{\partial h}{\partial x} \right)_{x^*}^T \right)$$

è appartenente al range di  
 $\partial h/\partial x$  da parte di  $\partial V/\partial x$  è una  
 generalizzazione della condi-

zione di parallelismo vista in  $\mathbb{R}^2$  che matematicamente si  
 esplicita dicendo che deve  $\exists$  un vettore di moltiplicato  $\lambda$   
 $\lambda \in \mathbb{R}^5$  tali che:

$$\left( \frac{\partial V}{\partial x} \right)_{x^*}^T = \left( \frac{\partial h}{\partial x} \right)_{x^*}^T \lambda \Rightarrow \begin{pmatrix} \frac{\partial V}{\partial x_1} \\ \vdots \\ \frac{\partial V}{\partial x_m} \end{pmatrix} = \begin{pmatrix} \frac{\partial h_1}{\partial x_1} & \dots & \frac{\partial h_5}{\partial x_1} \\ \vdots & \ddots & \vdots \\ \frac{\partial h_1}{\partial x_m} & \dots & \frac{\partial h_5}{\partial x_m} \end{pmatrix} \begin{pmatrix} \lambda_1 \\ \vdots \\ \lambda_5 \end{pmatrix}$$

$$\text{con } h(x) = \begin{pmatrix} h_1(x) \\ \vdots \\ h_5(x) \end{pmatrix}$$

in fatto  $h(x) = 0 \rightarrow$  simcolo vettoriale  $\Rightarrow$  un insieme di  
 5 simcoli  
 scalari

La funzione Lagrangiana nell'ambito della Teoria dell'a  
 ottimizzazione si scrive nel seguente modo:

$$L(x, \lambda) = V(x) + \lambda^T h(x) = V(x) + h^T(x) \lambda \quad \text{con } x \in \mathbb{R}^m \rightarrow$$

$\rightarrow$  variabile del pb originario e  $\lambda \in \mathbb{R}^5$ . La Teoria ci dice  
 che il minimo vincolato si ha in corrispondenza della  
 coppia  $(x^*, \lambda^*)$  tale da essere un punto stazionario per  $L$ :

$$x^*, \lambda^* : \begin{cases} \frac{\partial L}{\partial x} |_{x^*, \lambda^*} = 0 \\ \frac{\partial L}{\partial \lambda} |_{x^*, \lambda^*} = 0 \end{cases}$$

CONDIZIONI DI STAZIONARIETÀ  
 PER LA LAGRANGIANA  
 Queste due condizioni posso  
 no essere interpretate così:

e) dalla seconda:  $\frac{\partial L}{\partial \lambda} \Big|_{u^*} = h^T(u^*) = 0 \Rightarrow$  All'ottimo il vincolo deve essere soddisfatto

mentre dalla prima:

m)  $\frac{\partial L}{\partial u} \Big|_{u^*, \lambda^*} = \left( \frac{\partial V}{\partial u} + \lambda^T \frac{\partial h}{\partial u} \right) \Big|_{u^*, \lambda^*} = 0 \Rightarrow \frac{\partial V}{\partial u} \Big|_{u^*} = - \left( \frac{\partial h}{\partial u} \right) \Big|_{u^*}^T \lambda^*$

$\Rightarrow \left( \frac{\partial V}{\partial u} \right) \Big|_{u^*}^T \in R \left( \left( \frac{\partial h}{\partial u} \right) \Big|_{u^*}^T \right) \Rightarrow$  All'ottimo deve essere soddisf. la condizione di parallelismo

generalizzata in  $\mathbb{R}^m$  cioè:  $\pi \left( \left( \frac{\partial V}{\partial u} \right) \Big|_{u^*}^T \mid \left( R \left( \frac{\partial h}{\partial u} \right) \Big|_{u^*}^T \right)^\perp \right)$

Applichiamo questa teoria

di ottimizzazione alle robotica per risolvere il problema di minimizzare un indice  $\gamma_q(\dot{q})$  che dipende da  $\dot{q}$  per una data configurazione  $q$  (fissa) sotto il vincolo della velocità desiderata che bisogna realizzare  $\dot{v}_d = J(q)\dot{q} \Rightarrow$

$\Rightarrow$  
 m i m  $\gamma_q(\dot{q})$   
 $\dot{v}_d = J(q)\dot{q}$ 
 con  $\dot{v}_d$  velocità generalizzata desiderata:  $\dot{v}_d = \begin{pmatrix} \dot{x} \\ \dot{w} \end{pmatrix}$

È un pb di minimizzazione vincolata rispetto a  $\dot{q}$ . La Lagrangiana in queste condizioni si scrive nel seguente modo:

$L_q(\dot{q}, \lambda) = \gamma_q(\dot{q}) + \lambda^T (\dot{v}_d - J(q)\dot{q})$

OSS: m i m  $V(u) \rightarrow L(u, \lambda) = V(u) + \lambda^T h(u)$

$h(u) = 0$

in questo caso  $h_q(\dot{q}) = \dot{v}_d - J(q)\dot{q} = 0$

La condizione di stazionarietà è:

$u^*, \lambda^* : \left( \frac{\partial L}{\partial u} \right) \Big|_{u^*, \lambda^*} = 0$

$\left( \frac{\partial L}{\partial \lambda} \right) \Big|_{u^*, \lambda^*} = 0 \Rightarrow h(u) = 0$

In questo caso le condizioni diventano le seguenti:

$\frac{\partial L}{\partial \dot{q}} \Big|_{\dot{q}^*, \lambda^*} = \frac{\partial \gamma_q(\dot{q})}{\partial \dot{q}} \Big|_{\dot{q}^*} - \lambda^{*T} J(q^*) = 0$

$\left( \frac{\partial L}{\partial \lambda} \right) \Big|_{\dot{q}^*, \lambda^*} = \dot{v}_d - J(q)\dot{q}^* = h_q(\dot{q}^*) = 0$

Questo pb per  $\gamma$  generica non ammette soluzione esplicita

Se consideriamo però il caso di  $\gamma$  funzione quadratica del tipo

$\gamma_q(\dot{q}) = \dot{q}^T W \dot{q}$  con  $W = W^T > 0 \rightarrow \exists$  soluzione in forma chiusa

in fatto vale  $A = \dot{q}^T A \dot{q} = \dot{q}^T (A_s + A_a) \dot{q} = \dot{q}^T A_s \dot{q}$

si può sempre considerare  $W$  simmetrica senza perdita di generalità perché la parte antisimmetrica di una matrice dà un



combinata molto alla forma quadratica. Inoltre  $W > 0$  deve essere definita positiva perché altrimenti non sarebbe garantita l'unicità del minimo. Si studia allora il seguente pb:

$$\text{mim } \dot{q}^T W \dot{q}$$

cioè si vuole realizzare una velocità desiderata impiegando delle velocità di giunto e più piccole possibili. Se la

matrice di peso  $W = I \Rightarrow$  si minimizza la somma dei quadrati delle velocità di giunto:  $\text{mim } \dot{q}_1^2 + \dot{q}_2^2 + \dots + \dot{q}_m^2 \Rightarrow$  si assegna lo stesso peso a tutti i giunti. Se voglio invece che i giunti più sforzati (cioè quelli che portano il peso di tutta la struttura del robot) abbiano un peso maggiore (debbono essere più minimizzati) degli altri giunti meno sforzati:

$$W = \begin{bmatrix} w_1 & 0 & \dots & 0 \\ 0 & w_2 & \dots & 0 \\ \vdots & \vdots & \ddots & \vdots \\ 0 & 0 & \dots & w_m \end{bmatrix}$$

con  $w_1 \geq w_2 \geq \dots \geq w_m$

OSS: Se dà peso nullo a  $\dot{q}_m \Rightarrow$  posso avere anche  $\dot{q}_m \rightarrow \infty$ . Infatti:

$$\dot{q}^T W \dot{q} = w_1 \dot{q}_1^2 + w_2 \dot{q}_2^2 + \dots + w_m \dot{q}_m^2 \Rightarrow \text{Se } w_m = 0 \Rightarrow \dot{q}_m$$

non entra nell'indice da minimizzare per cui può assumere valori anche molto elevati. Al contrario se  $w_m$  è molto elevata  $\Rightarrow \dot{q}_m$  non potrà assumere valori elevati perché il contributo all'indice è rilevante.

OSS: Si può prendere  $W$  in modo che la forma quadratica risultante sia l'energia cinetica del robot. Infatti l'energia cinetica del robot è funzione di  $q$  e  $\dot{q}$ :

$$T(q, \dot{q}) = \frac{1}{2} \dot{q}^T B(q) \dot{q}$$

$\rightarrow$  Ad un certo stato di moto del robot è associata una certa energia

cinetica a seconda della velocità e della configurazione che il robot ha in quel momento.  $B(q)$  è la matrice di inerzia del robot. Potrei in questo modo minimizzare l'energia associata alla realizzazione della velocità  $\dot{v}_d$ :

$$\text{mim } \dot{v}_d = J(q) \dot{q} \quad \frac{1}{2} \dot{q}^T B(q) \dot{q}$$

La matrice  $B(q)$  è non simmetrica ed ha pesi maggiori in alto a  $Sx$  (più giunti che sono più sforzati) ed è un indice oggettivo mentre  $W$  è cmq un indice soggettivo perché è sempre chi progetta a decidere cosa è meglio. In generale risolviamo il pb di minimo



La matrice  $A_w = W^{-1} A W$  è una pseudo inversa DX della matrice  $A$ . Infatti se  $A$  è quadrata ed è invertibile risulta che  $A_w^\dagger \equiv A^{-1}$ .

DIM:  $A_w^\dagger = W^{-1} A^T (A W^{-1} A^T)^{-1} = \cancel{W^{-1}} A^T (A^T)^{-1} \cancel{W} A^{-1} = A^{-1}$   $\square$ .

È chiamata pseudo inversa destra perché se la si moltiplica a DX della  $A$  (rettangolare) si ottiene l'identità:

DIM:  $A A_w^\dagger = A W^{-1} A^T (A W^{-1} A^T)^{-1} = I_m$   $\square$

Moltiplicandola a SX di  $A$  ricicamemente non si ottiene  $I_m$ .

Infatti:  $\rho(A_w^\dagger A) = \rho\left(\begin{matrix} A_w^\dagger & A \end{matrix}\right) = \rho\left(\begin{bmatrix} \dots \\ \dots \end{bmatrix}\right) = m < n$

Perché il prodotto

Tra due matrici di rango al massimo pari ad  $m$  è ancora una matrice di rango al massimo pari ad  $m \Rightarrow$  la matrice di dimensioni  $m \times m$  non può essere  $I_m$  perché la matrice identità è una matrice a rango pieno.

OSS: La matrice pseudo inversa destra è utile anche per calcolare la proiezione di un vettore generico nel nucleo della matrice  $A$ . Data  $Ax = y \rightarrow \mathcal{N}(A) = \{x : Ax = 0\}$  pb: omogeneo

con  $\dim(\mathcal{N}(A)) = n - \rho(A) = n - m$ . In un robot più grande la dimensione del null del Jacobiano tanto più sono gli automovimenti, cioè quei movimenti dei giunti che danno un contributo nullo alla velocità cartesiane (i tali che  $\dot{v}_i = 0$ ).

Sia  $\tilde{z} \in \mathbb{R}^m$  (stesse dimensioni di  $x$ ). In generale  $A\tilde{z} \neq 0$ .

A partire da  $\tilde{z}$  posso generare un vettore  $\tilde{z}$  appartenente al nucleo di  $A$  (cioè la proiezione di  $\tilde{z}$  nel nucleo di  $A$ ) nel seguente modo:

$$\tilde{z} = (I_m - A_w^\dagger A) \tilde{z} \in \mathcal{N}(A) \quad \forall \tilde{z} \in \mathbb{R}^m$$

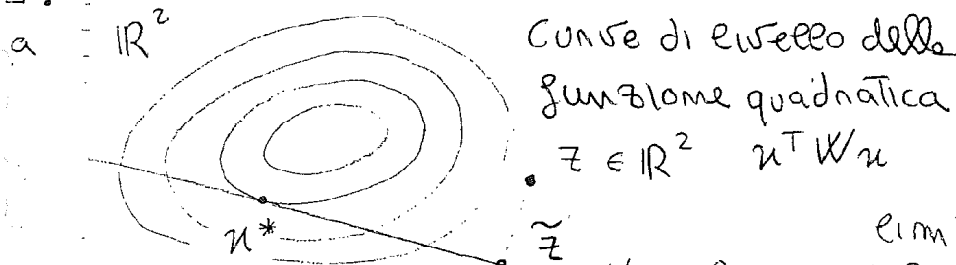
DIM:  $A\tilde{z} = A(I_m - A_w^\dagger A) \tilde{z} = (A - A) \tilde{z} = 0 \in \mathcal{N}(A)$   $\square$ .

Quindi la matrice  $(I_m - A_w^\dagger A)$  è il proiettore nel nucleo di  $A$ , che permette di generare tutte le soluzioni possibili del pb di minima norma a partire da  $x^* = A_w^\dagger y$  nel modo seguente:

$$x^s = A_w^\dagger y + (I_m - A_w^\dagger A) \tilde{z}$$

questa è la soluzione completa al pb:  $y = Ax^s$ ,  $\forall \tilde{z} \in \mathbb{R}^m$ . Tale soluzione rappresenta tutte le  $\infty^{m-m}$  soluzioni

è possibile al variare di  $z \in \mathbb{R}^m$ . È la somma della soluzione  
 e dell'eq. non omogenea (cioè  $u^* = A_w^+ y$ ) e di quelle dell'  
 eq. omogenea associata (che sono le  $(I_m - A_w^+ A)z$  al  
 variare di  $z$  in  $\mathbb{R}^m$ ). Graficamente in  $\mathbb{R}^2$ :



Come vediamo  $z$   
 varia in  $\mathbb{R}^m$  (cioè  
 in  $\mathbb{R}^2$ ) ma genera  
 delle soluzioni  $\tilde{z}$

limitate alla sola retta  
 del vincolo. In robotica e

Soluzione a minima  
 norma pesata.

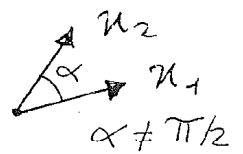
Vincolo

$\tilde{z}$  sono gli automovimenti cioè le

velocità di giunto che danno velocità contestuale = 0.

oss:  $\rho(I_m - A_w^+ A) = \mathcal{N}(A) = m - m$  ed è  $\perp$  dalla matrice di peso  
 in  $W$ . Tale matrice ( $W$ ) interviene solo sul modo in cui viene effettua  
 la proiezione (se è geometricamente ortogonale o meno).

In fatti, quando definisce un prodotto scalare tra due vettori:  
 $\langle u, v \rangle = u^T W v \Rightarrow$  varia il concetto classico di ortogonalità  
 che è legato all'angolo di  $\pi/2$  tra i due vettori. Mediante una  
 matrice  $W$  opportuna, i vettori a  $DX$  potrebbero  
 risultare ortogonali (avere prodotto scalare nullo)  
 pur non essendo geometricamente perpendicolari.

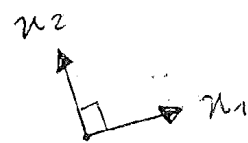


ES: Si vuole minimizzare una  $y(u) = u_1^2 + 2u_2^2$  (si pesa di  
 più la componente  $u_2$  rispetto alla  $u_1$ ).

oss:  $\sqrt{u^T W u} = \|u\|_W$  e  $\langle u_A, u_B \rangle = u_A^T W u_B \Rightarrow \|u\| = \sqrt{\langle u, u \rangle}$

al:  $u_A \perp u_B \Rightarrow u_A^T W u_B = 0 = \langle u_A, u_B \rangle$

L'ortogonalità  
 classica si ha per:  $W = W \begin{bmatrix} 1 & 0 \\ 0 & 2 \end{bmatrix} = \begin{bmatrix} W & 0 \\ 0 & W \end{bmatrix}$



Nell'esempio:  $\langle u_A, u_B \rangle = u_A^T \begin{bmatrix} 1 & 0 \\ 0 & 2 \end{bmatrix} u_B = u_{A1} u_{B1} + 2u_{A2} u_{B2} = 0$

$\Rightarrow u_A = \begin{pmatrix} 1 \\ 0 \end{pmatrix} \rightarrow u_B = \begin{pmatrix} 0 \\ \alpha \end{pmatrix}$ : ho ancora perpendicolarità geom.

Se però considero  $u_A = \begin{pmatrix} 1 \\ 1 \end{pmatrix} \rightarrow u_B = \begin{pmatrix} 2\alpha \\ -\alpha \end{pmatrix} \forall \alpha$  perché:

$\langle u_A, u_B \rangle = [1 \ 1] \begin{bmatrix} 1 & 0 \\ 0 & 2 \end{bmatrix} \begin{pmatrix} u_{B1} \\ u_{B2} \end{pmatrix} = 0 \Rightarrow (1 \ 2) \begin{pmatrix} u_{B1} \\ u_{B2} \end{pmatrix} = 0$

Graficamente  
 i due casi si

$u_B \begin{pmatrix} 0 \\ \alpha \end{pmatrix}$

$u_A \begin{pmatrix} 1 \\ 0 \end{pmatrix}$

$u_A \begin{pmatrix} 1 \\ 1 \end{pmatrix}$

$u_B \begin{pmatrix} 2\alpha \\ -\alpha \end{pmatrix}$

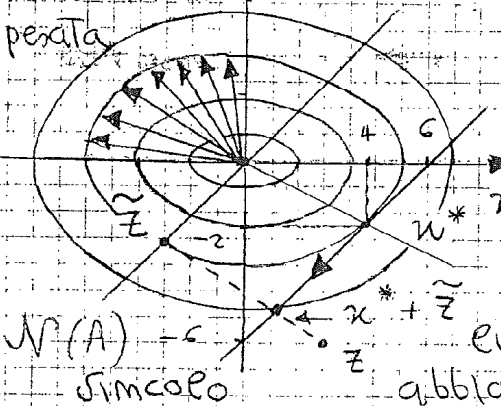
si appaiono.

L'angolo  $\gamma$  tra i vettori ortogonali, secondo il peso  $W$ , non è sempre costante, ma dipende dalla posizione dei vettori stessi. Tornando all'esempio il SIMCOB che si vuole imporre è

$$y = Ax \Rightarrow \begin{cases} A = [1 \ -1] \Rightarrow [1 \ -1]x = 6 \text{ con } W = \begin{bmatrix} 1 & 0 \\ 0 & 2 \end{bmatrix} \\ y = 6 \end{cases}$$

Il problema completo è:

minimizzare  $x_1^2 + 2x_2^2$   
 [1 -1]x = 6  
 Vettori con stessa norma pesata



Le curve di livello della funzione  $x^T W x$  si ricavano facendo l'analisi nella eq:  $x_1^2 + 2x_2^2 = c$ . Ad esempio per  $c=1$  si trovano i punti  $x_A = \begin{pmatrix} 1 \\ 0 \end{pmatrix}$  ed  $x_B = \begin{pmatrix} 0 \\ 1/\sqrt{2} \end{pmatrix}$

Se  $W = I \Rightarrow$  le curve di livello sono circonferenze con centri, se  $W$  è una matrice diagonale con pesi generici  $\Rightarrow$  sono ellissi, se  $W$  è generica  $\Rightarrow$  le curve di livello sono ellissi traslate. In questo caso abbiamo delle ellissi ed i vettori con la stessa

norma pesata sono quelli che congiungono l'origine con una determinata curva di livello. Dal SIMCOB  $\Rightarrow$

$$[1 \ -1] \begin{pmatrix} x_1 \\ x_2 \end{pmatrix} = 6 \Rightarrow x_1 - x_2 = 6 \Rightarrow x_2 = x_1 - 6 \rightarrow \text{retta rossa}$$

Per calcolare la soluzione che soddisfa il SIMCOB e minimizza la funzione indice si calcola a partire dalla pseudo inversa:

$$(A W^{-1} A^T)^{-1} = (1 \ -1) \begin{pmatrix} 1 & 0 \\ 0 & 1/2 \end{pmatrix} \begin{pmatrix} 1 \\ -2 \end{pmatrix} = \frac{3}{2} \Rightarrow W^{-1} A^T = \begin{pmatrix} 1 \\ -1/2 \end{pmatrix}$$

$$A_w^\dagger = W^{-1} A^T (A W^{-1} A^T)^{-1} = \begin{pmatrix} 1 \\ -1/2 \end{pmatrix} \frac{2}{3} = \begin{pmatrix} 2/3 \\ -1/3 \end{pmatrix}$$

Si verifica che  $A A_w^\dagger = [1 \ -1] \begin{pmatrix} 2/3 \\ -1/3 \end{pmatrix} = 1$  OK

La soluzione è:  $x^* = A_w^\dagger y = \begin{pmatrix} 2/3 \\ -1/3 \end{pmatrix} 6 = \begin{bmatrix} 4 \\ -2 \end{bmatrix}$  Infatti è verificato che:

$$A x^* = [1 \ -1] \begin{bmatrix} 4 \\ -2 \end{bmatrix} = 6 = y$$

Il proiettore nel nucleo della matrice  $A$  si ricava:

$$z \rightarrow \tilde{z} = (I - A_w^\dagger A) z; \text{ con:}$$

$$I - A_w^\dagger A = \begin{bmatrix} 1 & 0 \\ 0 & 1 \end{bmatrix} - \begin{bmatrix} 2/3 \\ -1/3 \end{bmatrix} [1 \ -1] = \begin{bmatrix} 1/3 & 2/3 \\ 1/3 & 2/3 \end{bmatrix} \Rightarrow m=1$$

Infatti in questo esempio ho una equazione di SIMCOB ( $m=1$ )  
 in 2 incognite ( $n=2$ ).  
 128

$R \left( \begin{bmatrix} 1/3 & 2/3 \\ 1/3 & 2/3 \end{bmatrix} \right) = R \left( \begin{bmatrix} 1 \\ 1 \end{bmatrix} \right)$  Quindi i vettori nel  $\mathcal{N}(A)$  sono del tipo  $\begin{pmatrix} 1 \\ -1 \end{pmatrix}$

La generica soluzione è:

$$u_s = A_w^+ y + (I - A_w^+ A) z = \begin{bmatrix} 4 \\ -2 \end{bmatrix} + \begin{bmatrix} 1/3 & 2/3 \\ 1/3 & 2/3 \end{bmatrix} \begin{bmatrix} z_1 \\ z_2 \end{bmatrix} = u^* + \tilde{z}$$

Se  $z = \begin{pmatrix} 3 \\ -6 \end{pmatrix} \Rightarrow$  proiettando nel nucleo di  $A$  ottengo:

$$\tilde{z} = \begin{bmatrix} 1/3 & 2/3 \\ 1/3 & 2/3 \end{bmatrix} \begin{bmatrix} 3 \\ -6 \end{bmatrix} = \begin{bmatrix} -3 \\ -3 \end{bmatrix} \rightarrow \text{La proiezione non \u00e9 geometricamente ortogonale. Quindi } [1 \ -1]u = 6 \text{ ammette } \infty^1 \text{ soluzioni, tra le}$$

quali  $\begin{pmatrix} 4 \\ -2 \end{pmatrix}$  \u00e9 quella a minima norma pesata (secondo  $W$ ). La soluzione pi\u00f9 intuitiva  $u = \begin{pmatrix} 3 \\ -3 \end{pmatrix}$  si ha quando  $W = I$ . Se avessi

dato un peso  $\rightarrow \infty$  alle componenti  $u_2 \Rightarrow$  avremmo  $u = \begin{pmatrix} 6 \\ 0 \end{pmatrix}$

vicinanza dando peso nullo alla  $u_2 \Rightarrow$  la soluzione sarebbe  $u = \begin{pmatrix} 0 \\ -6 \end{pmatrix}$ .

L'ellisse tende a schiacciarsi lungo  $u_2$  per  $u \rightarrow \begin{pmatrix} 6 \\ 0 \end{pmatrix}$  mentre tende a schiacciarsi lungo  $u_1$  per  $u \rightarrow \begin{pmatrix} 0 \\ -6 \end{pmatrix}$ .

Immobilit\u00e0, la possibilit\u00e0 di aggiungere la proiezione di  $z$  nel  $\mathcal{N}(A)$  ( $\tilde{z}$ ) alle soluzioni  $u^*$ , viene sfruttata per cercare la  $\dot{q}$  a minima norma pesata, ma quanto pi\u00f9 possibile vicina ad una  $\dot{q}_0$  desiderata (che si vorrebbe il robot avesse):

$$\dot{q}^s = \underbrace{J_w^+ (q) \dot{v}_d}_{\text{Soluzione che realizza sempre } \dot{v}_d} + \underbrace{(I - J_w^+ (q) J(q)) \dot{q}_0}_{\text{...}}$$

Risolve  $P_b$  minimo Si vuole imporre e soddisfa il vincolo ma  $\dot{q} \cong \dot{q}_0$  (reponibile) con:

$$\dot{q}_0 = \frac{\partial Z(q)}{\partial q} \rightarrow \text{Velocit\u00e0 dei giunti che massimizza la manipolabilit\u00e0 del robot } Z(q) \text{ o meglio}$$

la velocit\u00e0 di giunto che punta in una configurazione di massima manipolabilit\u00e0 (oppure che da luogo ad una posizione pi\u00f9 sicura...), ma che non realizza la velocit\u00e0 desiderata  $\dot{v}_d$ . Questo \u00e9 il motivo per cui si proietta  $\dot{q}_0$  nel

nullo dello jacobiano in modo che dia contributo nullo a  $\dot{v}_d$  cio\u00e8 risultati che  $\tilde{\dot{q}}_0 = J(q) \tilde{\dot{q}}_0 = 0 \rightarrow \underline{ES}$ : Se voglio

che il robot appoggi un oggetto su un tavolo senza sbatterci il peso combino il movimento voluto per appoggiare l'oggetto

(la soluzione  $u^*$ ) con il movimento che allontana il peso dal tavolo senza che dia contributo alla  $\dot{v}_d$  (soluzione  $\tilde{z} \in \mathcal{N}(A)$ ) mettendola in condizione di

OSS: una approssimazione che si fa per questi studi e considerare il no bot giroforme e calcolare la distanza di  $\forall$  braccio del robot da  $\forall$  oggetto che esso circonda -

OSS: La  $Z(q)$  matrice di manipolabilità (è una matrice di qualità)  $\rightarrow$  ha valore minimo a fondo corsa e massimo a centro corsa. Bisogna minimizzare gli indici di penalità e massimizzare quelli di qualità.

OSS: Abbiamo risolto il pb della cinematica inversa per i robot non ridondanti mediante l'algoritmo dello Jacobiano inverso  $J(q)^{-1}$ . Analogamente risolviamo il pb della cinematica inversa per i robot ridondanti mediante l'algoritmo dello Jacobiano pseudo inverso  $J_w^+(q) \rightarrow$  con minimizzazione / massimizzazione di un eventuale indice di penalità / qualità.

$$\dot{q}^* = W_q^{-1} J^T(q) (J(q) W_q^{-1} J^T(q))^{-1} \cdot \dot{d} = J_w^+(q) \cdot \dot{d}$$

Questa è una formula teorica perché nella pratica si preferisce una implementazione numerica che è molto più rapida. L'aggiunta di automovimenti deriva dall'esigenza di raggiungere obiettivi secondari:

$$\dot{q}^s = J_w^+(q) \dot{d} + (I - J_w^+(q) J(q)) \dot{q}_0 \Rightarrow \left\{ \begin{array}{l} \dot{q}^* = J_w^+(q) \dot{d} \\ J(q) J_w^+(q) = I \end{array} \right.$$

$$\Rightarrow \dot{q}^s = \dot{q}^* + (I - J_w^+(q) J(q)) (\dot{q}_0 - \dot{q}_0) \Rightarrow$$

$$\Rightarrow \dot{q}^s = \dot{q}^* + (I - J_w^+(q) J(q)) \dot{q}_0$$

Mi piacerebbe avere una velocità di giunto  $\dot{q}_0$  (ma non realizza la  $\dot{d}$ ) ma è  $\dot{q}^*$  che realizza la  $\dot{d} \Rightarrow$  si aggiunge allora a  $\dot{q}^*$  la proiezione di  $\dot{q}_0$  nel  $\mathcal{N}(J(q))$ .

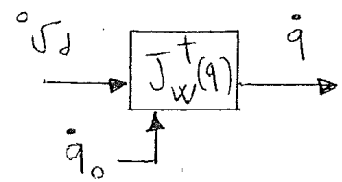
Dalle relazioni fatte si vede come se la  $\dot{q}^* = \dot{q}_0 \Rightarrow$  la connessione da effettuare è nulla.

OSS: Le eq. fatte risolvono il pb: di cercare la velocità di giunto  $\dot{q}^*$  il più vicino possibile a  $\dot{q}_0$  e che realizza contemporaneamente la velocità desiderata  $\dot{d}$ .

$$\text{mim } \dot{d} = J(q) \dot{q} \quad (\dot{q} - \dot{q}_0)^T W (\dot{q} - \dot{q}_0)$$

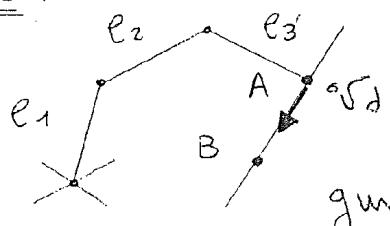
Si perviene allo stesso risultato utilizzando moltiplicatori di Lagrange (è un inseguimento di traiettoria vincolato). La specifica completa potrebbe richiedere di 130 minimizzare la traiettoria completa. Infatti se com

10. Si denota  $W = B(q)$  si determina localmente lo spostamento  
 a minima energia cinetica, ma non siamo sicuri che  
 sull'intera traiettoria l'energia è minima perché potrebbe  
 essere  $\exists$  delle traiettorie ad energia minore. È necessario  
 effettuare un controllo ottimo non lineare (in campo lineare  
 abbiamo il controllo LQ). Noi abbiamo risolto il pb di  
 determinazione della traiettoria in ambito locale perché  $q$   
 è fissata e determiniamo di volta in volta  $\dot{q}$ . Si parla dall'  
 analisi classica che dà una soluzione  $\dot{q}^* \in \mathbb{R}^m$  alla  
 analisi funzionale con  $\dot{q}^* \in C(\mathbb{R}^m, (0, T))$ . L'algoritmo  
 locale trovato va inserito nello schema

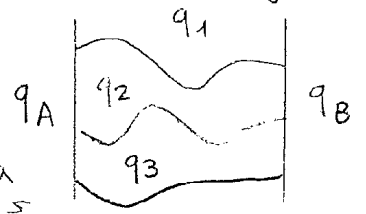


a blocchi al posto dello Jacobiano inverso.  
 Se siamo in ambito della robotica  
 avanzata c'è anche il termine di correzione  
 per realizzare la scelta dei giunti che ottimizza la manipolabilità.

OSS:



Data una struttura in posizione  $q_A$ , deter-  
 minare gli andamenti delle variabili di giunto  
 per muovere la mano  
 nel punto B con compi-  
 gnazione  $q_B$ .



Oppure più interessante potrebbe essere, realizza-  
 re un programma in MATLAB che data la  
 descrizione geometrica di un robot in termini di parametri di  
 Denavit-Hartenberg (può un parametro booleano per sapere se  
 il giunto i-mo è prismatico o rotoidale) e l'orientamento +  
 posizionamento in  $\mathbb{R}^3$  dell'organo terminale, implementi degli  
 algoritmi di cinematica diretta, di inversione cinematica...

finire così la cinematica. Il prossimo argomento è la STATICA  
 del robot, cioè lo studio del legame esistente tra le forze pro-  
 dotte dai motori sui giunti e le forze applicate dall'esterno:  
 questo studio si forma una interpretazione dell'algoritmo  
 dello Jacobiano trasposto per il calcolo della cinematica inversa.  
 La dinamica infine si forma le leggi di controllo mediante  
 le quali sarà possibile controllare il robot.